

ความเสี่ยงแผ่นดินไหวของอาคารสูงใน

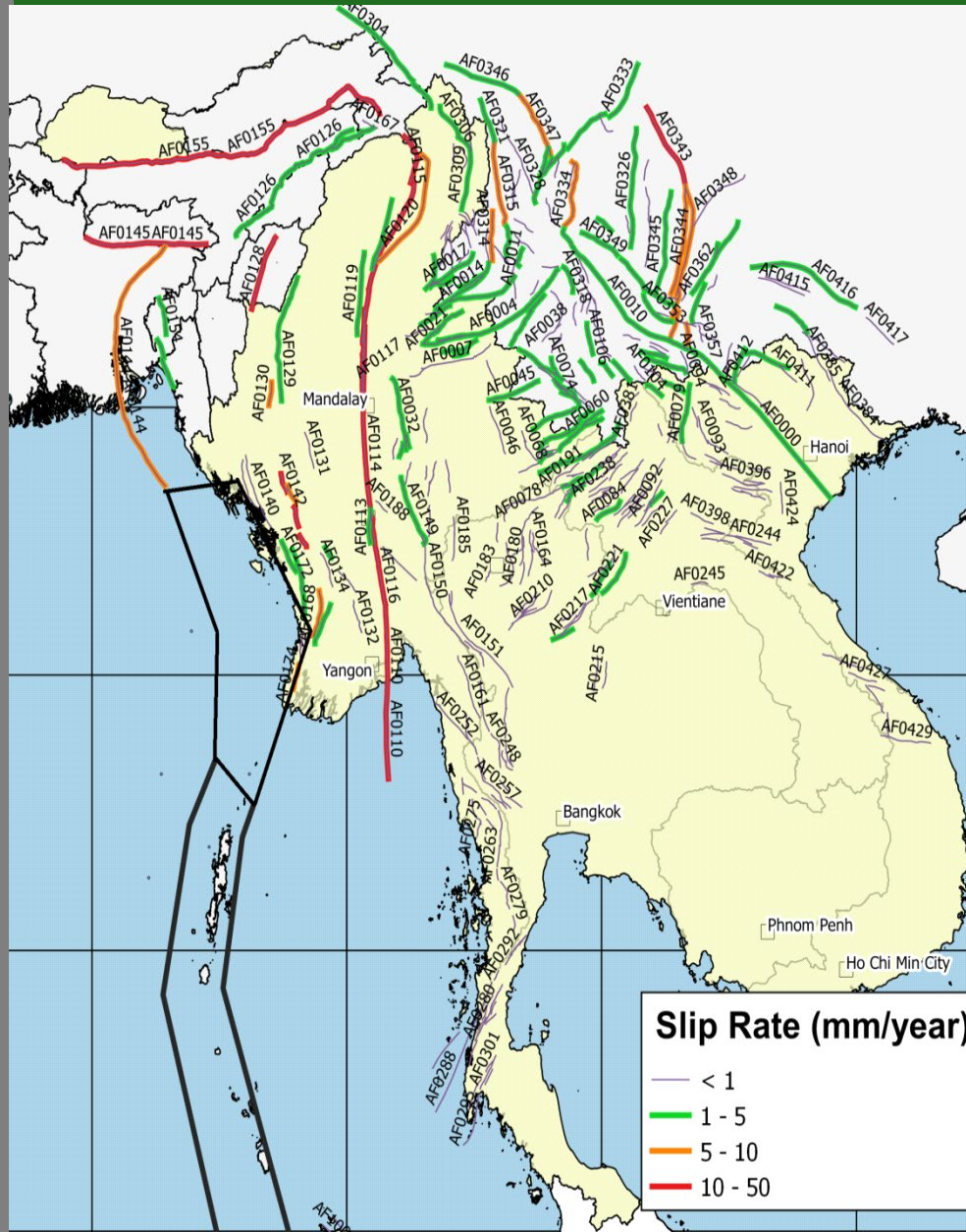
กรุงเทพมหานคร

ศ.ดร. เป็นหนึ่ง วนิชชัย

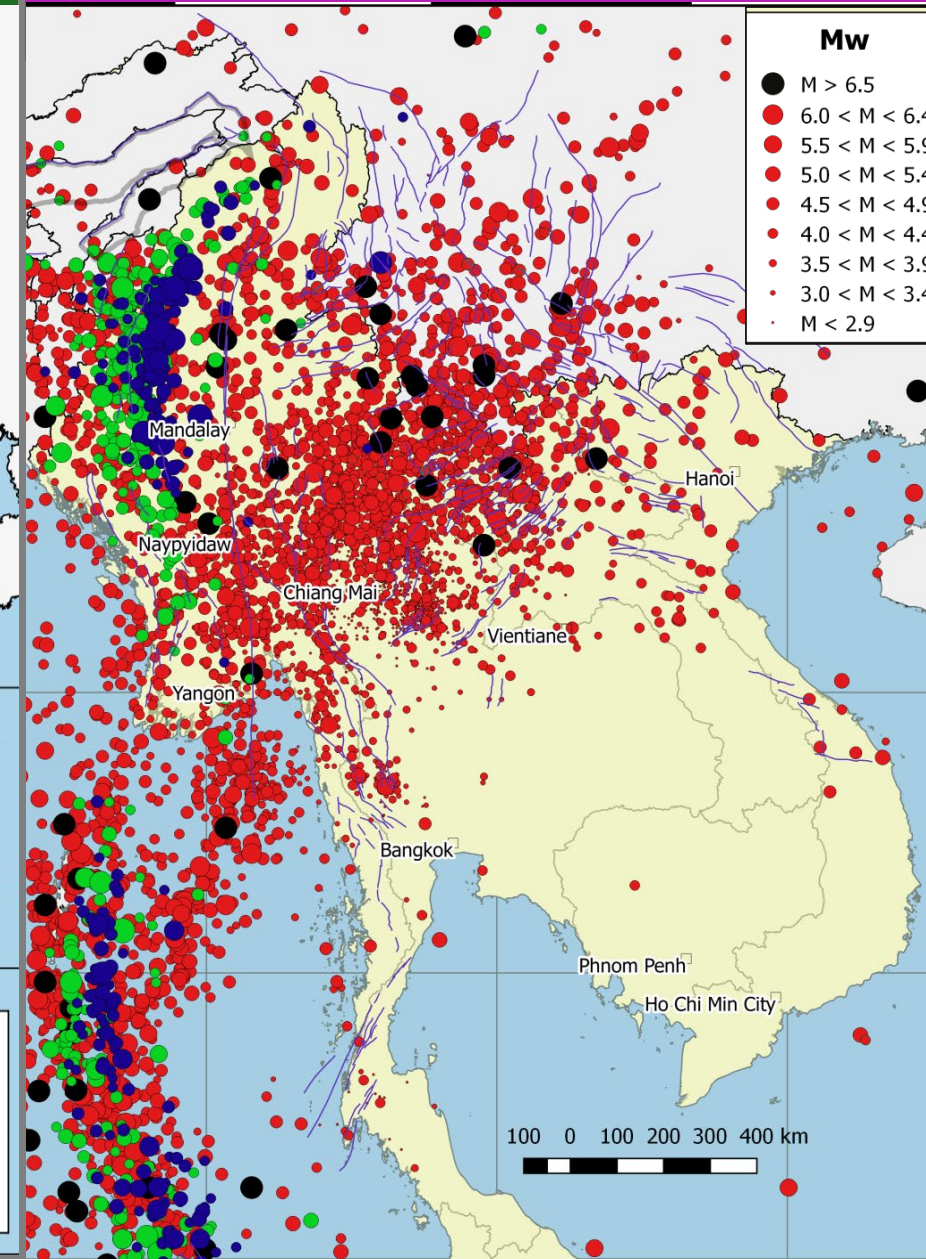
ภาควิชาวิศวกรรมโครงสร้าง
สถาบันเทคโนโลยีแห่งเอเชีย (AIT)

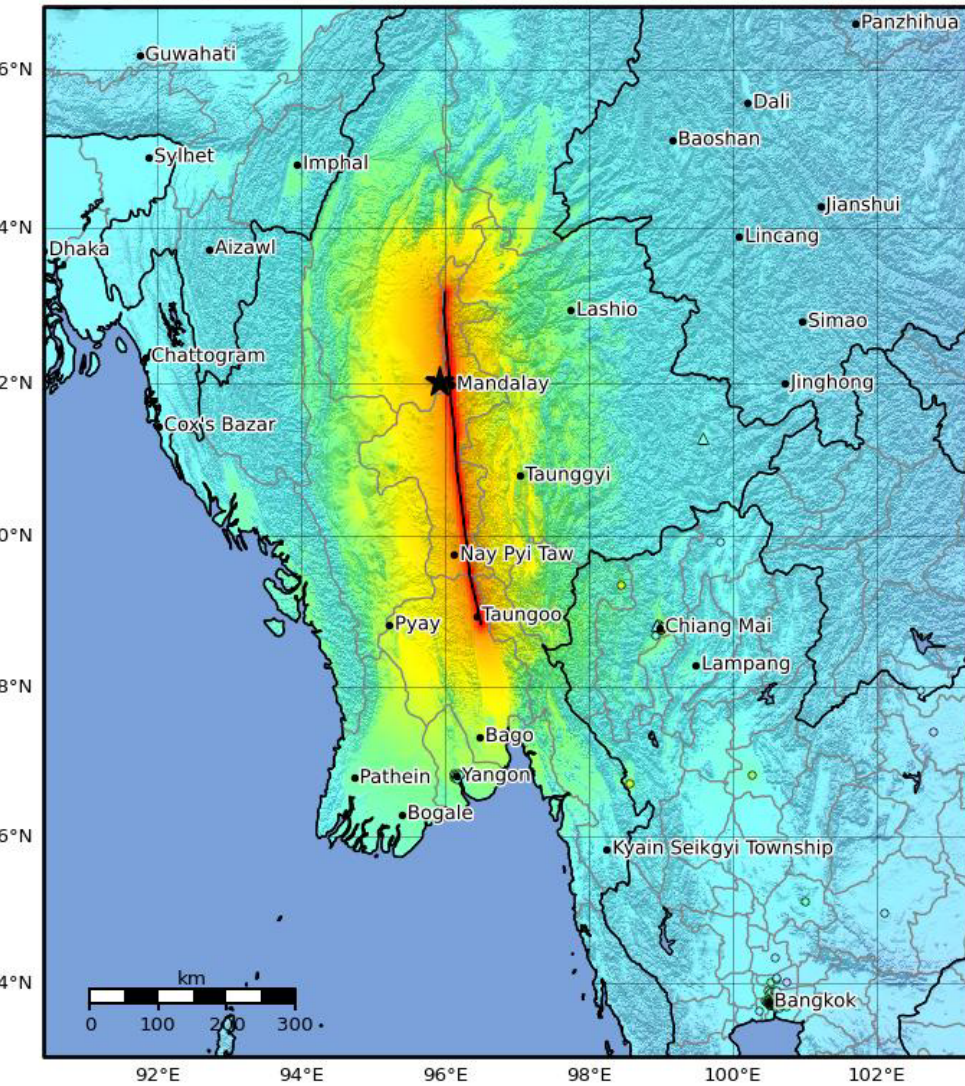
ผู้อำนวยการศูนย์วิจัยแผ่นดินไหวแห่งชาติ

Tectonic Map and Active Faults of SouthEast Asia



Seismicity Map of SouthEast Asia (1905-2014)



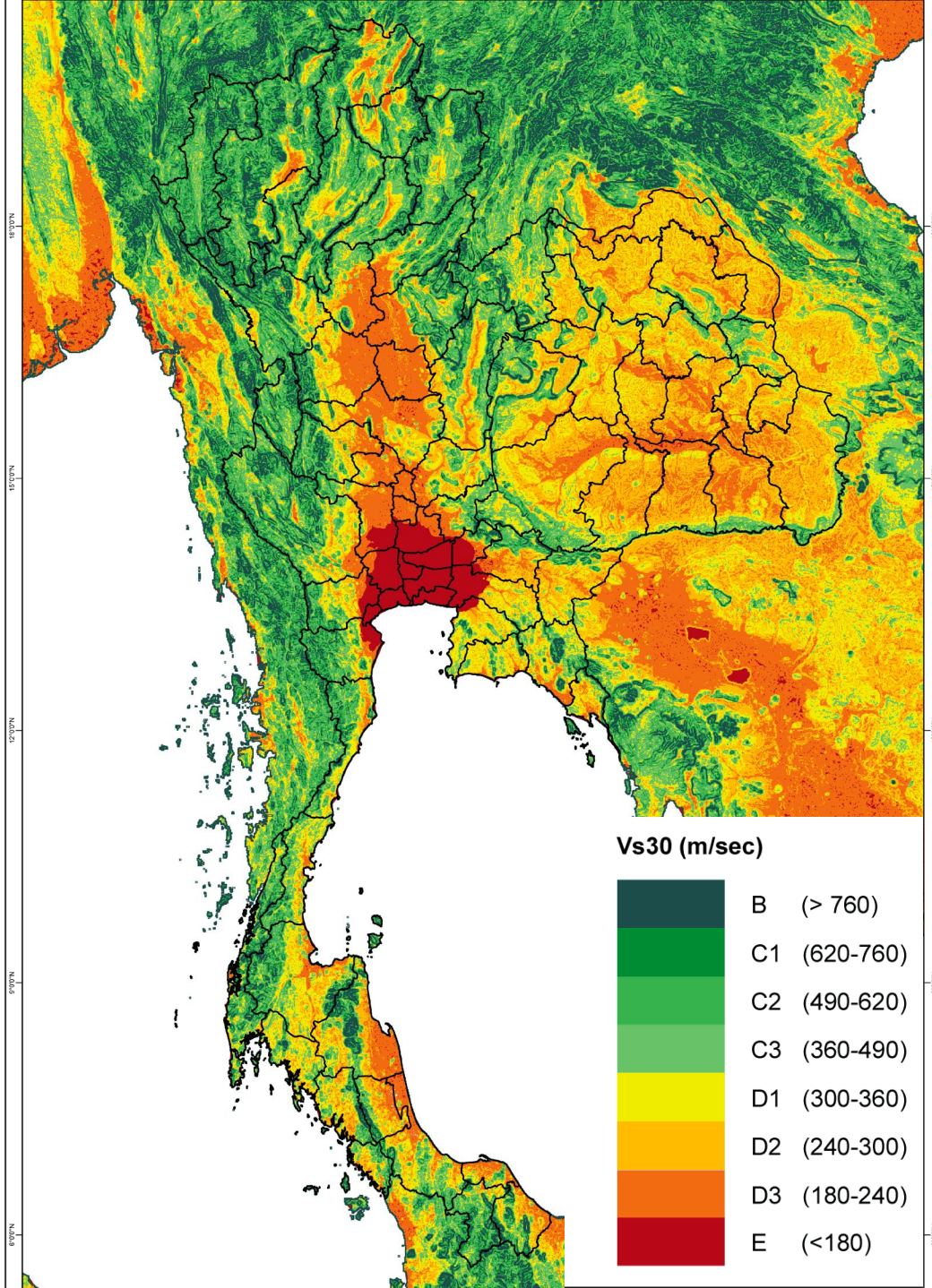


M 7.7 - 2025 Mandalay, Burma (Myanmar) Earthquake

2025-03-28 06:20:54 (UTC)
22.013°N 95.922°E
10.0 km depth

SHAKING	Not felt	Weak	Light	Moderate	Strong	Very strong	Severe	Violent	Extreme
DAMAGE	None	None	None	Very light	Light	Moderate	Moderate/heavy	Heavy	Very heavy
PGA(%g)	<0.0464	0.297	2.76	6.2	11.5	21.5	40.1	74.7	>139
PGV(cm/s)	<0.0215	0.135	1.41	4.65	9.64	20	41.4	85.8	>178
INTENSITY	I	II-III	IV	V	VI	VII	VIII	IX	X+

Version 8: Processed 2025-03-28T18:12:21Z
★ Epicenter □ Rupture



Map showing Soil (Site) Conditions in Thailand (derived from digital elevation data—SRTM30 and boreholes data)

Bangkok and neighboring provinces are located inside a large soil basin.

Rock (No Amplification)

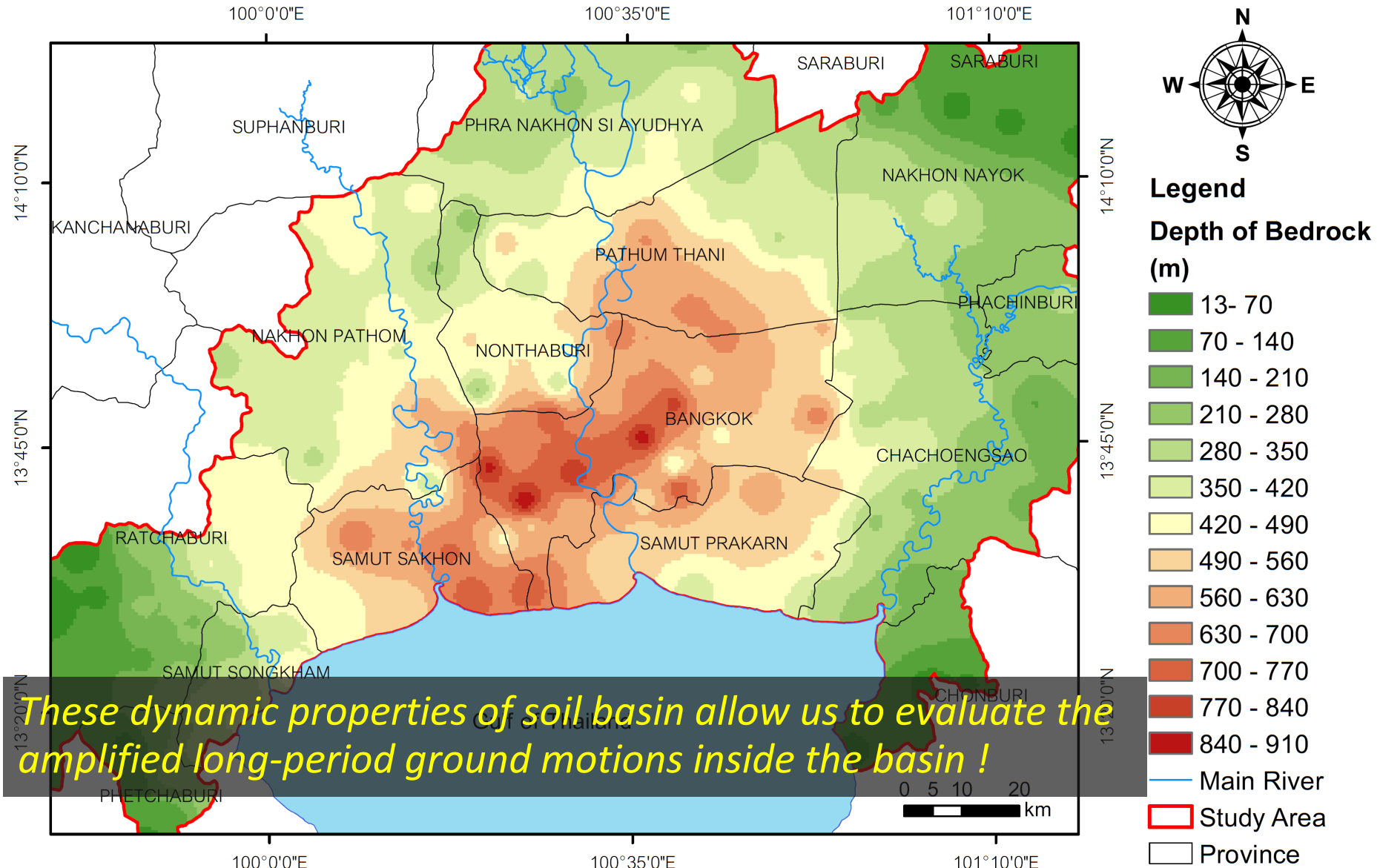
Very Stiff Soil

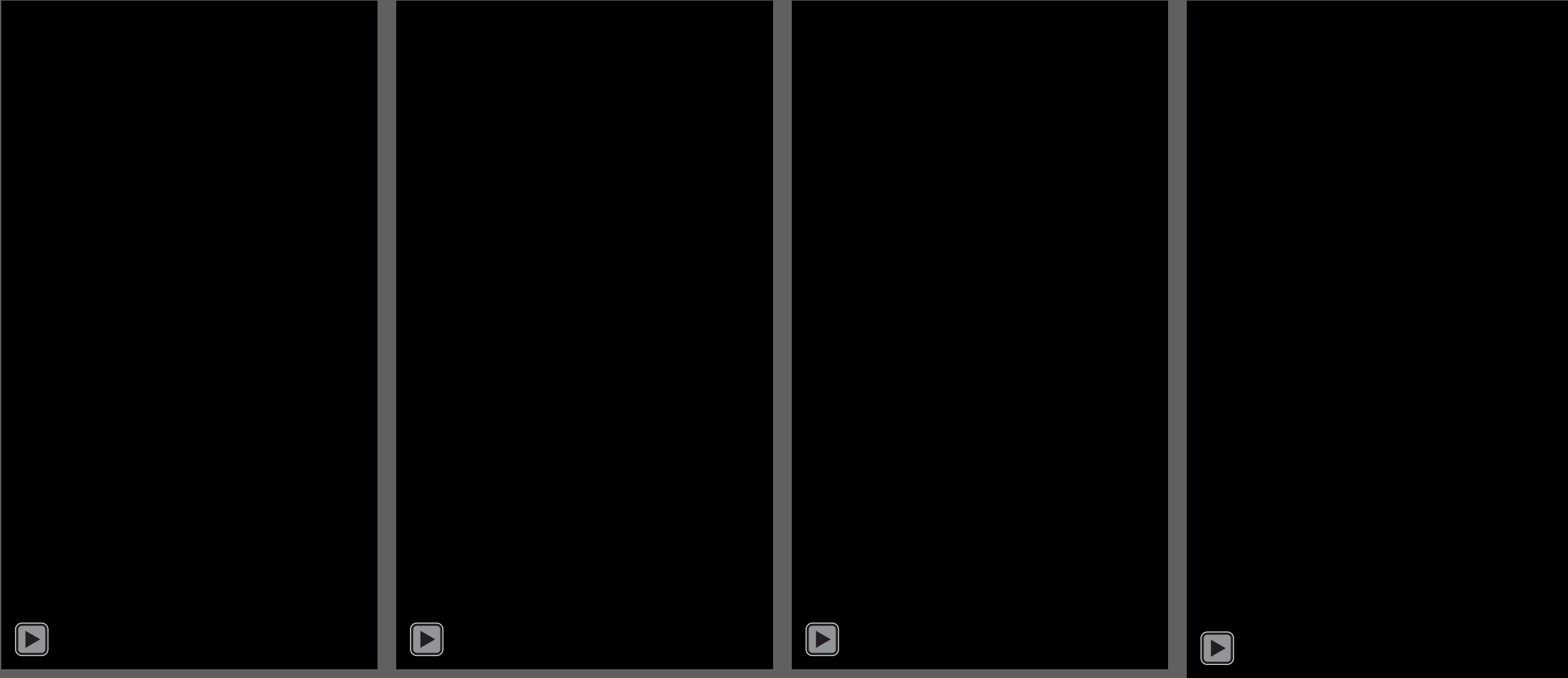
Stiff Soil (Moderate Amplification)

Moderately Soft Soil

Very Soft Soil (High Amplification)

Depth to Basement Rock in Bangkok Basin





Resonance Effect



กรุงเทพมหานครและปริมณฑล มีโอกาสเกิดภัยพิบัติ เนื่องจากแผ่นดินไหวขนาดใหญ่ในระยะใกล้

สภาพแวดล้อมในกรุงเทพฯ สามารถขยายความรุนแรงของแผ่นดินไหวได้มากกว่าปกติ ถึง 3 เท่า และ อาคารสูงเป็นจำนวนมากอาจเกิดการกำทอนทำให้โยกไหวตัวรุนแรงจนเกิดความเสียหาย

สถานการณ์แผ่นดินไหวที่เป็นอันตรายต่ออาคารสูงในกรุงเทพฯ ได้แก่

- แผ่นดินไหวขนาด 7 - 7.5 ที่ จ. กาญจนบุรี
- แผ่นดินไหวขนาด 8 ที่แนวรอยเลื่อนสกายนในประเทศมา
- แผ่นดินไหวขนาด 8.5 - 9 ที่แนวมุดตัวในทะเลอันดามัน

การปรับปรุงกฎกระทรวงแผ่นดินไหวในปี พ.ศ. 2550 ขยายพื้นที่ควบคุมให้ออกแบบ อาคารต้านทานแผ่นดินไหว ให้รวมถึงกรุงเทพมหานครและปริมณฑล

ក្រុករាជទាន

ก้าวหน้า ความท้าทาย ความคุกคามของอาชาร และพันธุ์ที่ร้องขอการดำเนินการแรงสั่นสะเทือนของแผ่นดินไหว

ପ୍ରକାଶକ

อาศัยอำนาจตามความในมาตรา ๕ (๓) แห่งพระราชบัญญัติควบคุมอาชาร พ.ศ. ๒๕๒๒ และมาตรา ๕ (๓) แห่งพระราชบัญญัติควบคุมอาชาร พ.ศ. ๒๕๒๒ ซึ่งแก้ไขเพิ่มเติมโดยพระราชบัญญัติควบคุมอาชาร (ฉบับที่ ๑) พ.ศ. ๒๕๔๓ ยังเป็นกฎหมายที่มีผลบัญญัติบางประการ เกี่ยวกับอาชญากรรมที่เป็นภัยต่อสันติภาพ ดังนี้

“บริเวณที่ ๑” หมายความว่า พื้นที่หรือบริเวณที่เป็นดินอ่อนมากที่อาจได้รับผลกระทบจากแผ่นดินไหวระยะไกล ได้แก่ กรุงเทพมหานคร จังหวัดนนทบุรี จังหวัดปทุมธานี จังหวัดสมุทรปราการ และจังหวัดสมุทรสาคร

“บริเวณเพื่อร่วง” หมายความว่า พื้นที่หรือบริเวณที่อาจได้รับผลกระทบจากแผ่นดินไหว ได้แก่ จังหวัดกรุงเทพมหานคร จังหวัดพัทุมธานี จังหวัดศรีสะเกษ จังหวัดระนอง จังหวัดสิงขร และจังหวัดสระบุรี ที่ตั้งอยู่ในเส้นทางที่เสี่ยงต่อการถูกกระแทกโดยแรงคลื่นที่สูง

“บริเวณที่ ๑” หมายความว่า พื้นที่ที่รื้อบริเวณที่เป็นคืนอ่อนมากที่อาจได้รับผลกระทบจากแพนคินไนwarey ไกค ได้แก่ กรุงเทพมหานคร จังหวัดนนทบุรี จังหวัดปทุมธานี จังหวัดสมุทรปราการ และจังหวัดสมุทรสาคร

2550 ขยายพื้นที่ควบคุมให้ออกแบบ

ข้อ ๓ กฎกระทรวงนี้ให้ใช้บังคับในบริเวณและอาคารดังต่อไปนี้

(ก) อาการที่จำเป็นต่อความเป็นอย่างสาระณัช เซ่น สถานพยาบาลที่รับฟังป่วยไว้

ค้างคืน สถานีดับเพลิง อาคารศูนย์บรรเทาสาธารณภัย อาคารศูนย์สื่อสาร ท่าอากาศยาน โรงพยาบาลและเก็บน้ำประปา

(ก) อาคารเก็บวัตถุอันตราย เช่น วัตถุระเบิด วัตถุไวไฟ วัตถุมีพิษ วัตถุกันมันครั้งสี่ หรือวัสดุที่ระเบิดได้

(ค) อาคารสำนักงานที่มีผู้ใช้อาคารได้ตั้งแต่สามร้อยคนขึ้นไป ได้แก่ โรงพยาบาล หอประชุม หอศิลป์ พิพิธภัณฑสถาน หอสมุด ศาสนสถาน สนามกีฬา อัฒจันทร์ ตลาด ห้างสรรพสินค้า ศูนย์การค้า สถานironic และโรงเรม

(๓) สถานศึกษาที่รับนักเรียนหรือนักศึกษาได้ดั่งเด่นส่องวิริยห้าสิบคนขึ้นไป

(๒) ความต้องการที่จะรักษาความไม่เสื่อม化ของตัวเข้าที่ เนื่องจากเป็นไปได้

ສຶບເມຕຣ່ວິນໄປ
ໄວ່ໄກຍມີຄວາມສູງ

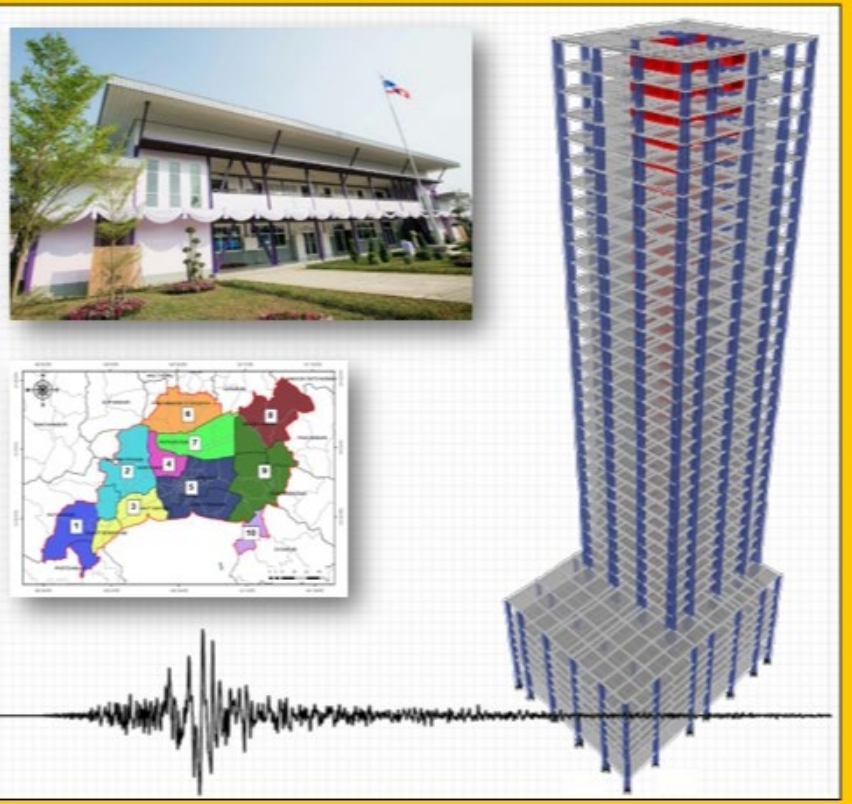
ເກມທີ່ຮັງເຜົ້າໄວຍໍໄວ້

(ข) อาคารเก็บวัสดุอันตราย เช่น วัตถุระเบิด วัตถุไวไฟ วัตถุนีพิษ วัตถุกัมมันตรังสี หรือวัตถุที่ระเบิดได้

(ค) อาคารสำนักงาน ได้แก่ โรงแรมหรือพ หอประชุม ห้องศึกษา พิพิธภัณฑสถาน หอสมุด ศาสนสถาน สนามกีฬา อุปจันทร์ ตลาด ห้างสรรพสินค้า ศูนย์การค้า สถานีรถไฟ โรงแรม สถานบริการ และอาคารจอดรถ

ฉบับที่ 1301/1302-61

มาตรฐานการออกแบบอาคารต้านทาน
การสั่นสะเทือนของแผ่นดินไหว



กรมโยธาธิการและผังเมือง
กรุงเทพมหานคร
ว.ศ. 2561

National Standard DPT

1301/1302-61:

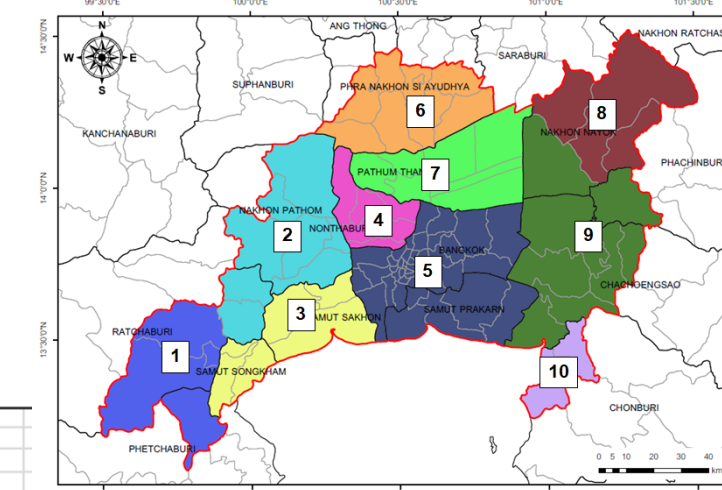
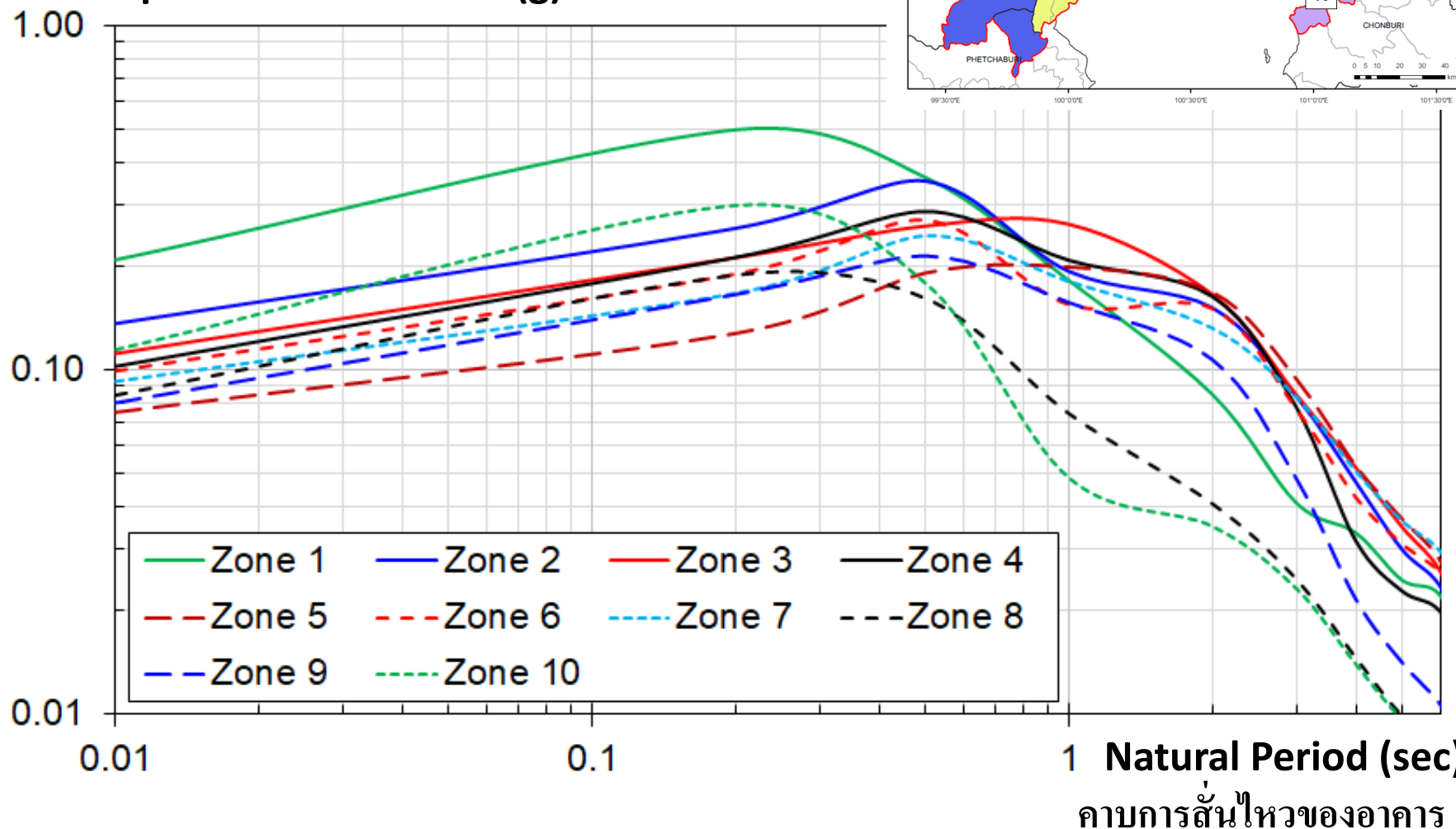
Seismic Resistant Design of
Buildings and Structures

*Issued by Department of Public
Works and Town & Country Planning,
Ministry of Interior (2019)*

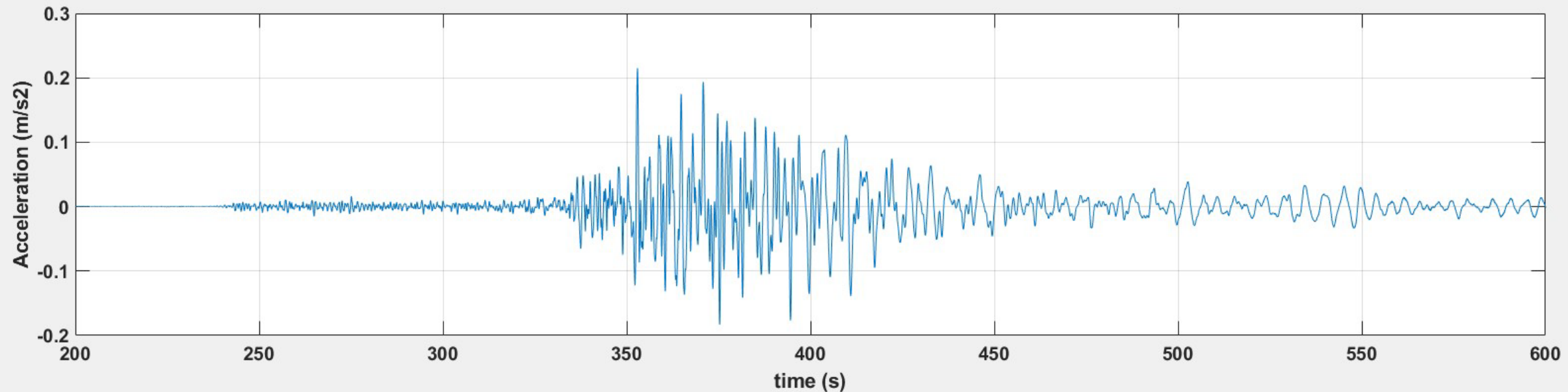
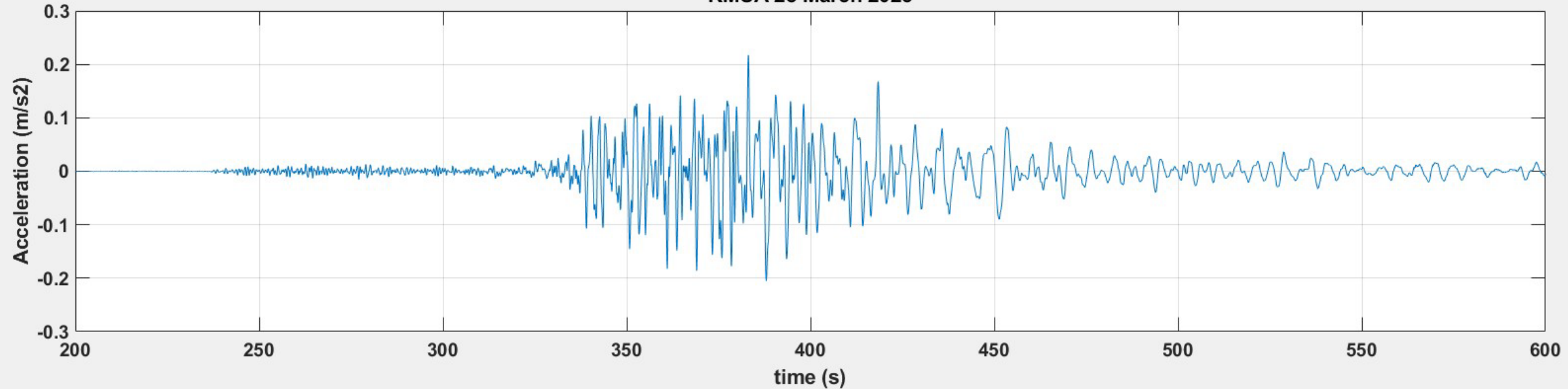
*The new design spectra for Bangkok and
the surrounding provinces have already
been included in DPT1301/1302-61.*

New Design Spectra for Bangkok and surrounding provinces

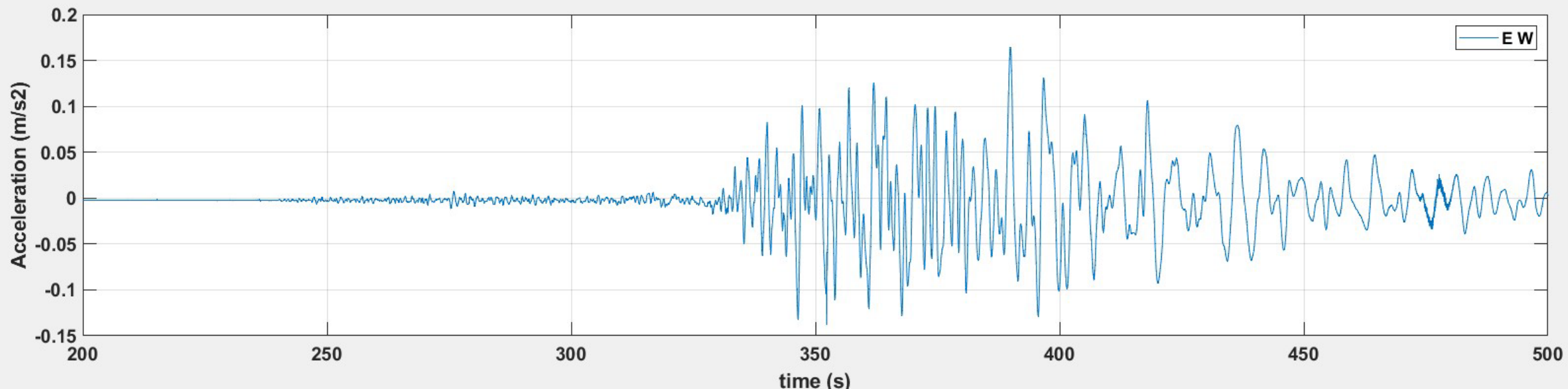
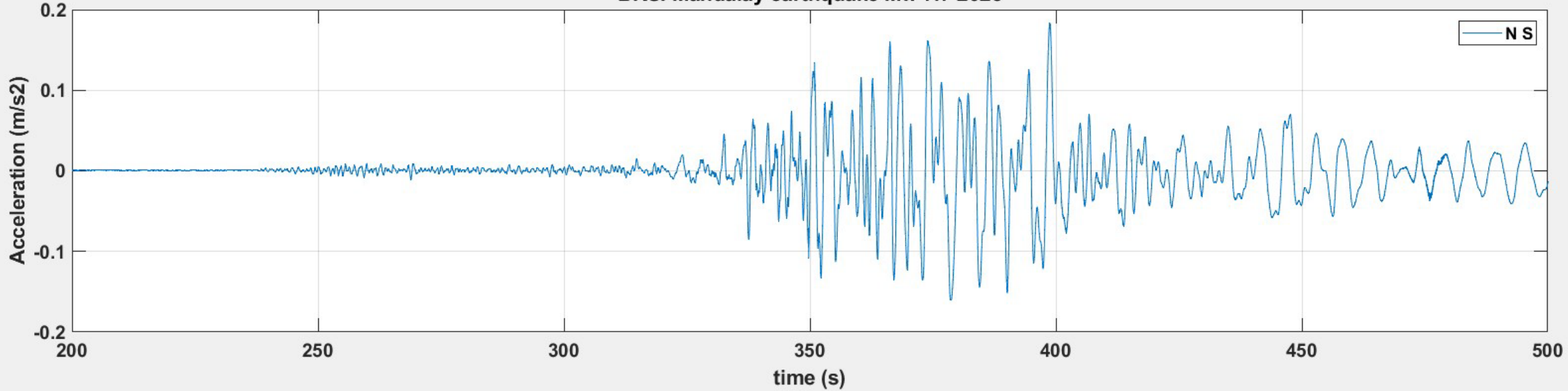
ความรุนแรงของการสั่นไหวของอาคาร
Spectral Acceleration (g)



KMUA 28 March 2025

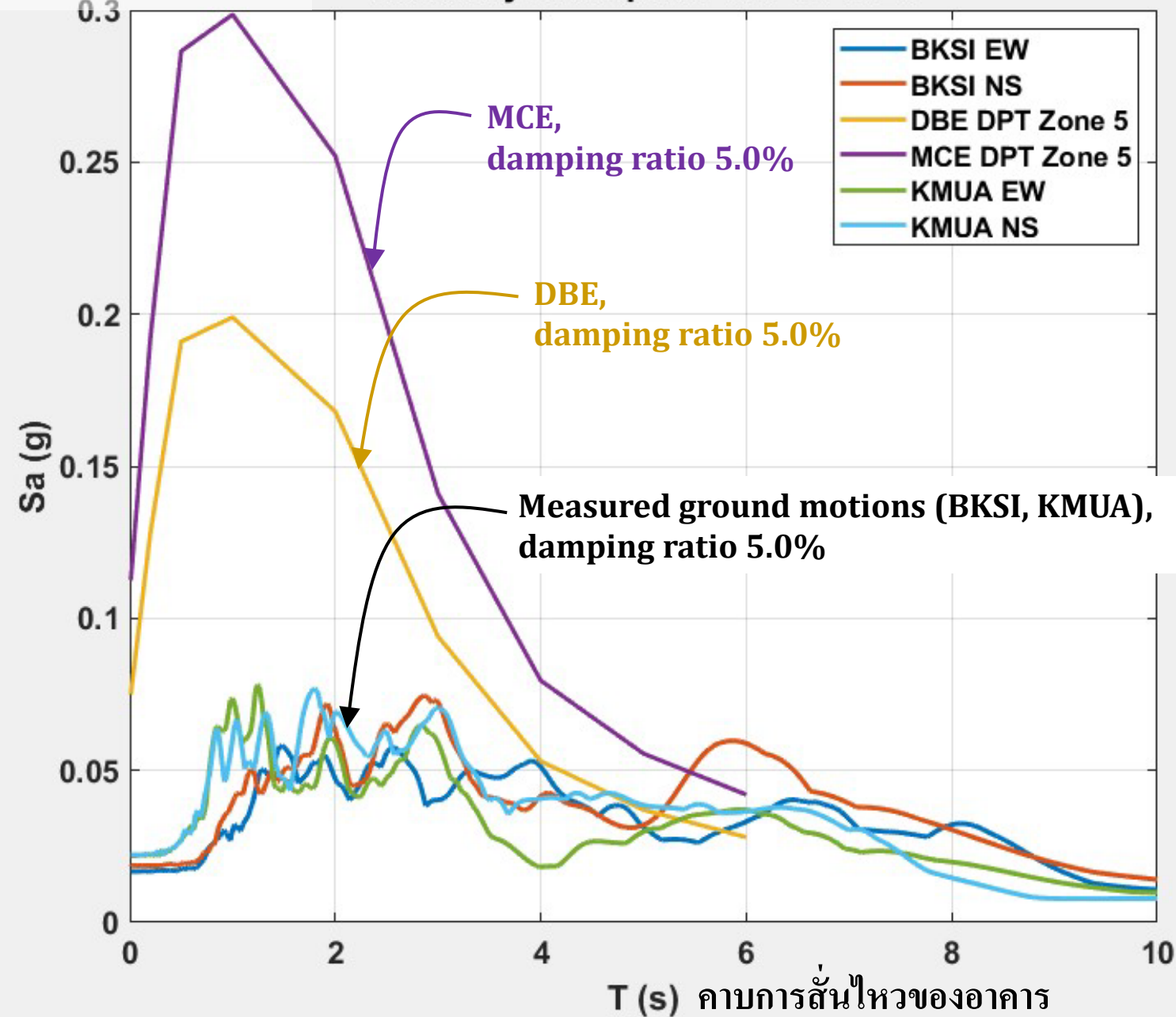


BKSI Mandalay earthquake Mw 7.7 2025



ความรุนแรงของการสั่นไหวของอาคาร

Mandalay earthquake Mw 7.7 2025



Summary of Damages

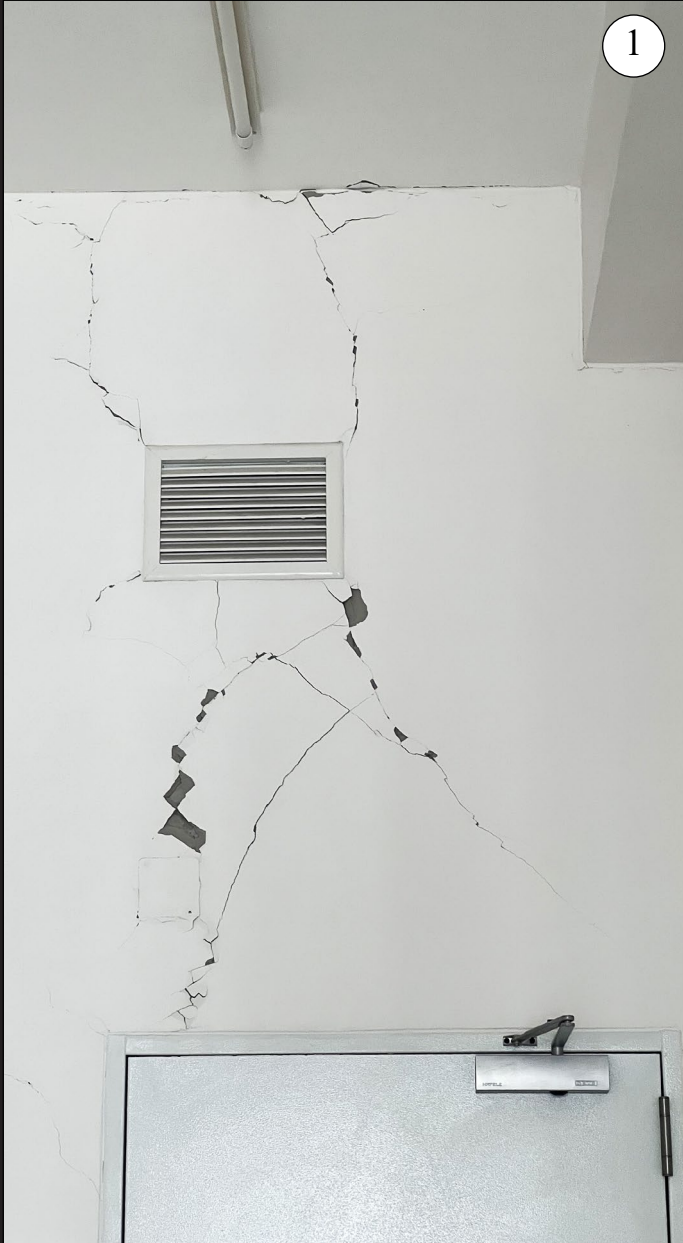
Total Collapse – 1 Bldg (SAO bldg. during construction)

Structural damages – Approx. more than 10 Bldgs

Non-structural damages – Approx. Several 100 Bldgs

All buildings in Bangkok, except collapsed SAO bldg, are safe from the earthquake with varying of damages but no reported injuries or death, except the collapsed SAO bldg with around 100 labors death or missing.

Slight to Moderate Damage to Non-Structural Masonry Walls

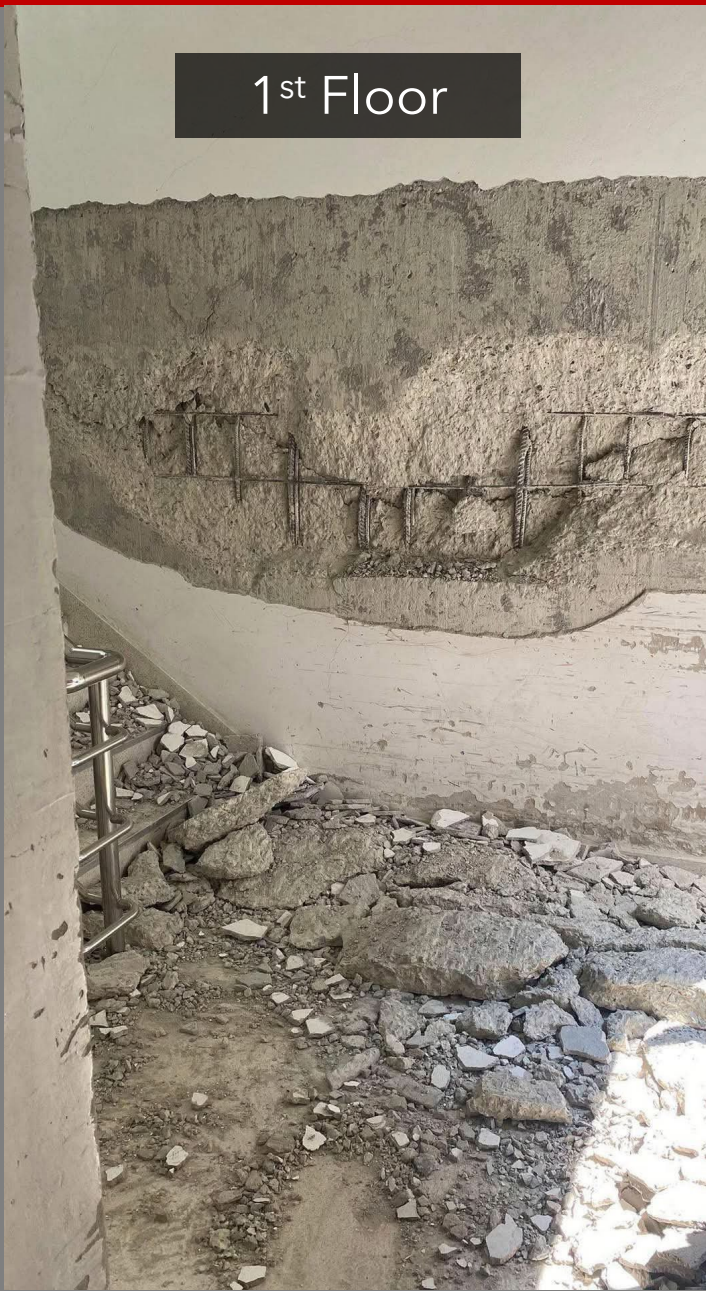


Severe Damage to Non-Structural Masonry Walls- ผนังอิฐก่อร้าวทะลุสองฝั่ง

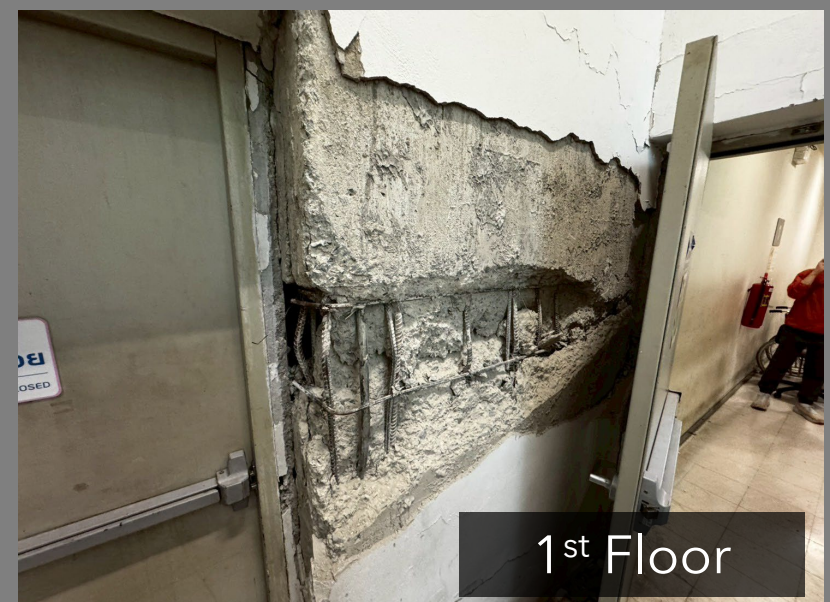
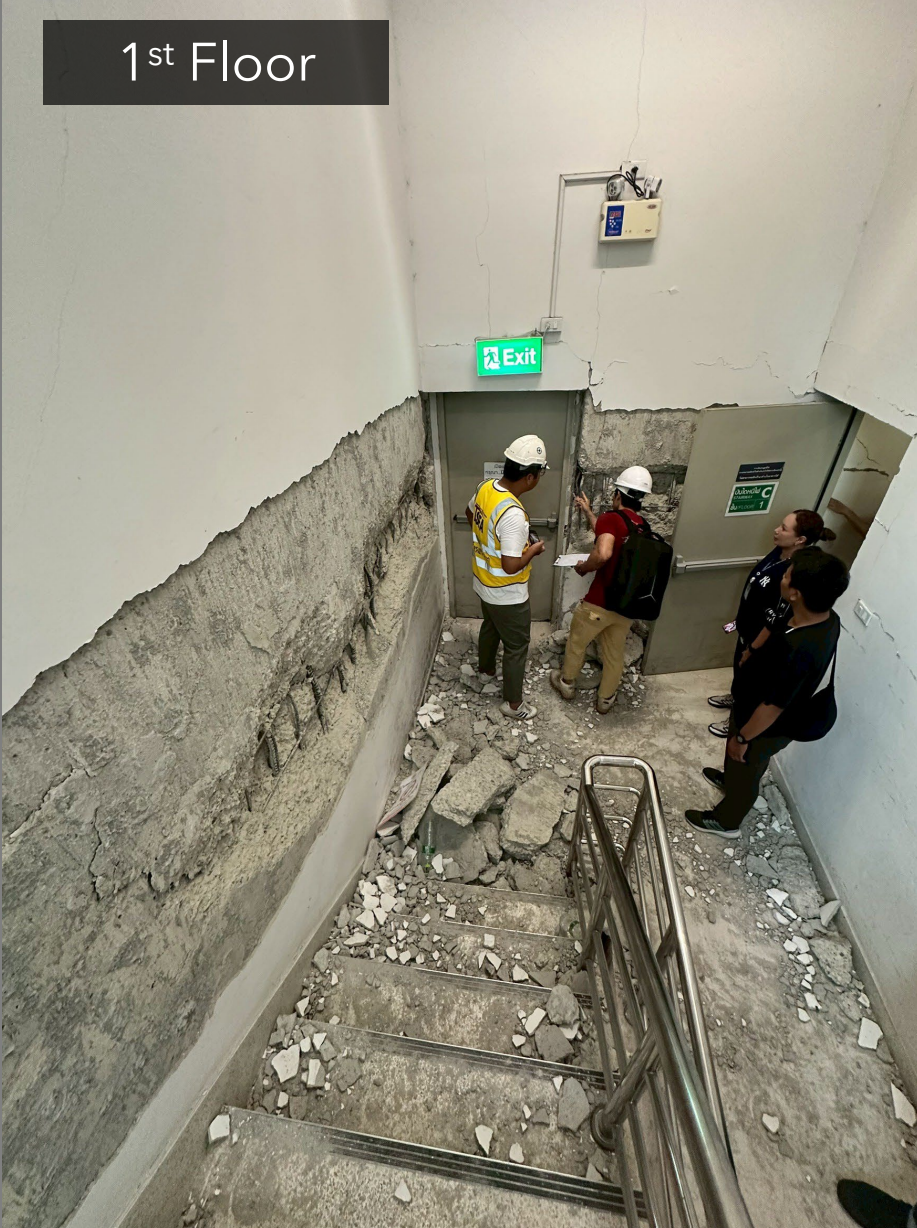
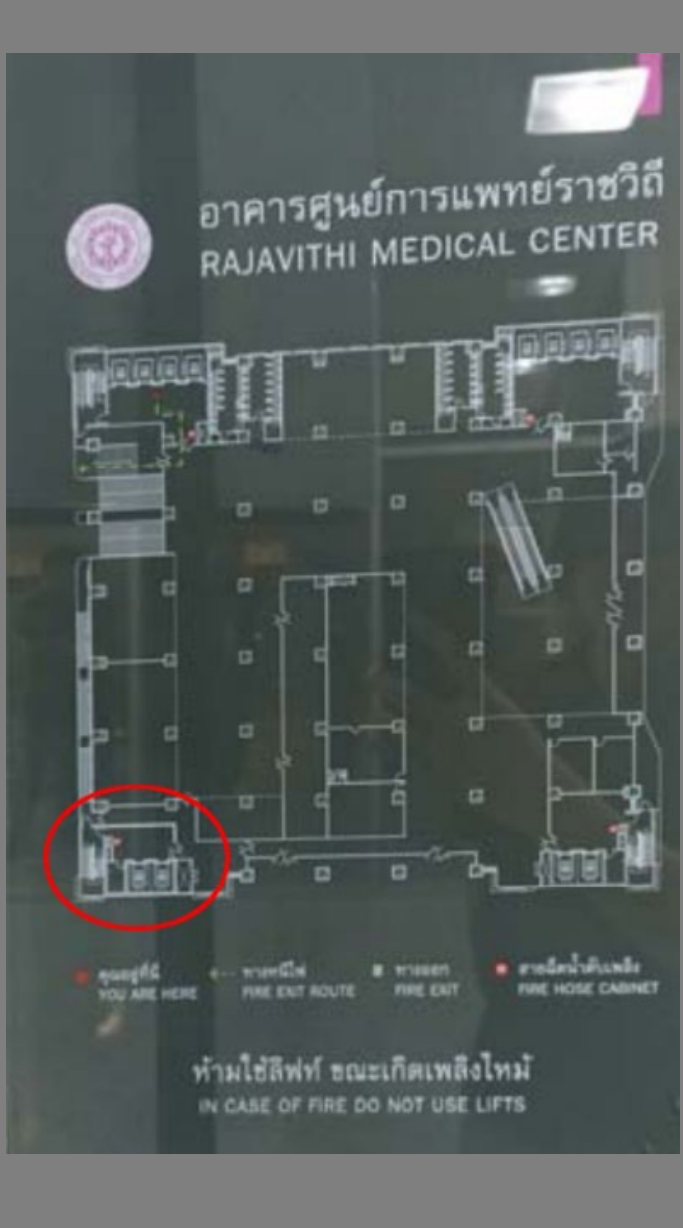




Significant Structural Damage (25-story, Rajavithi Hospital)

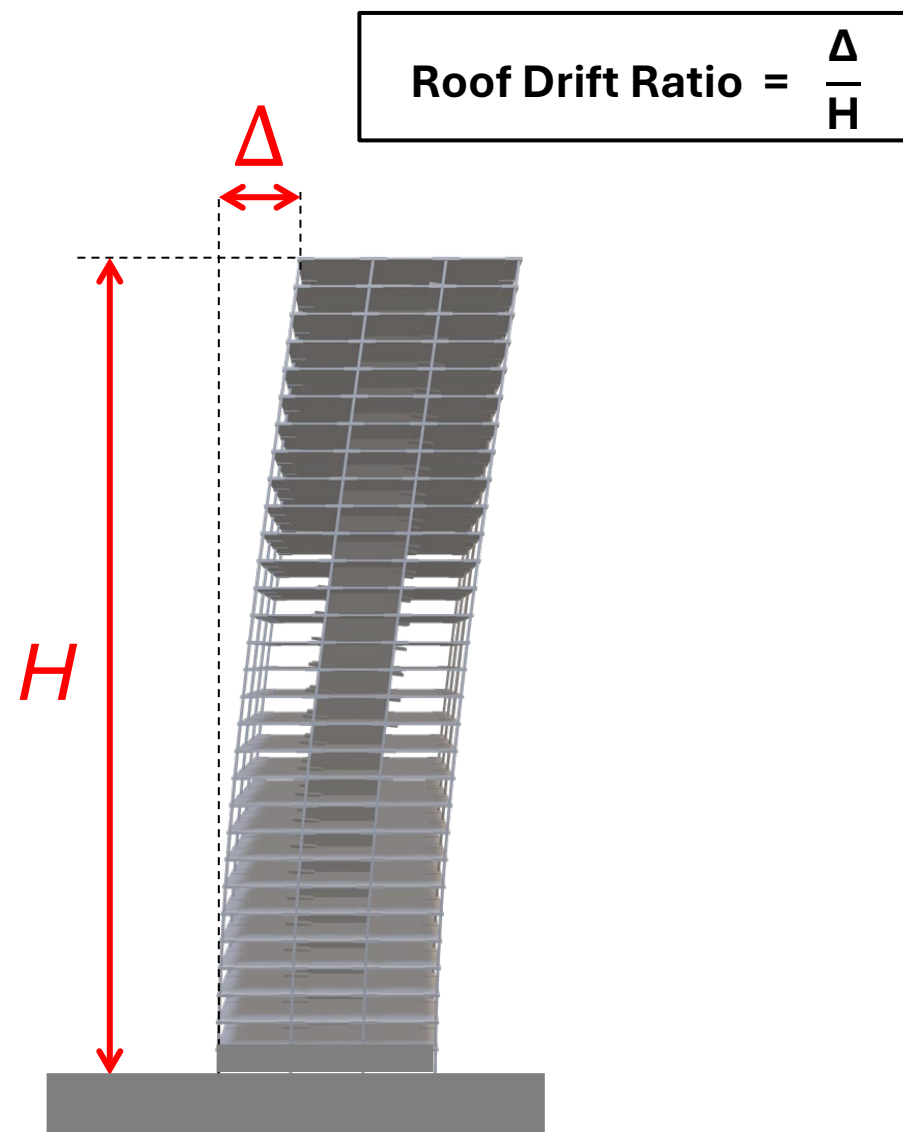


Significant Structural Damage (25-story, Rajavithi Hospital)

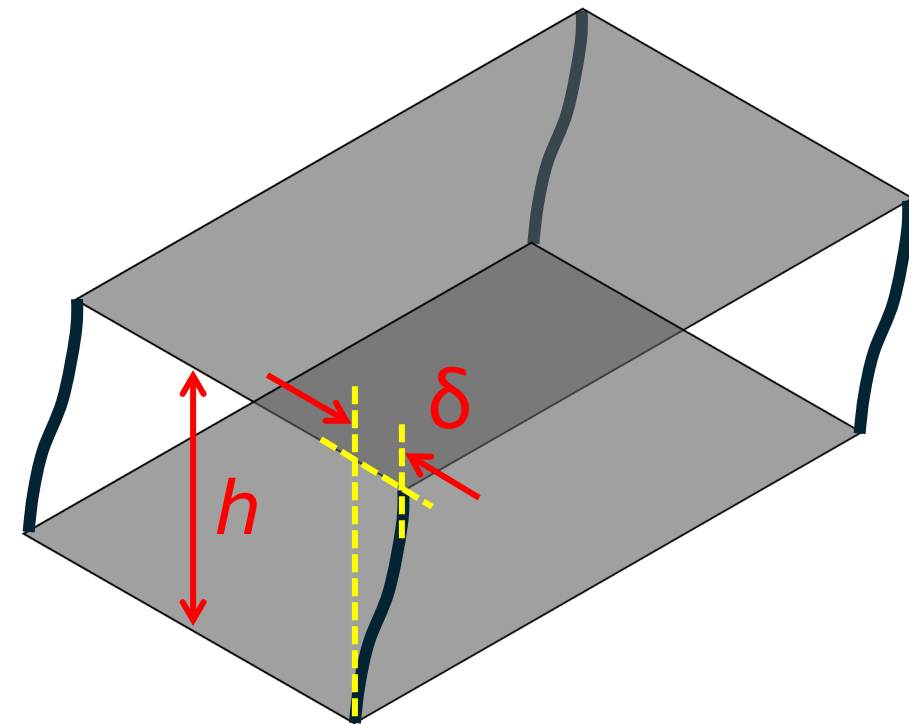


Significant Structural Damage (Building in Bangkok)





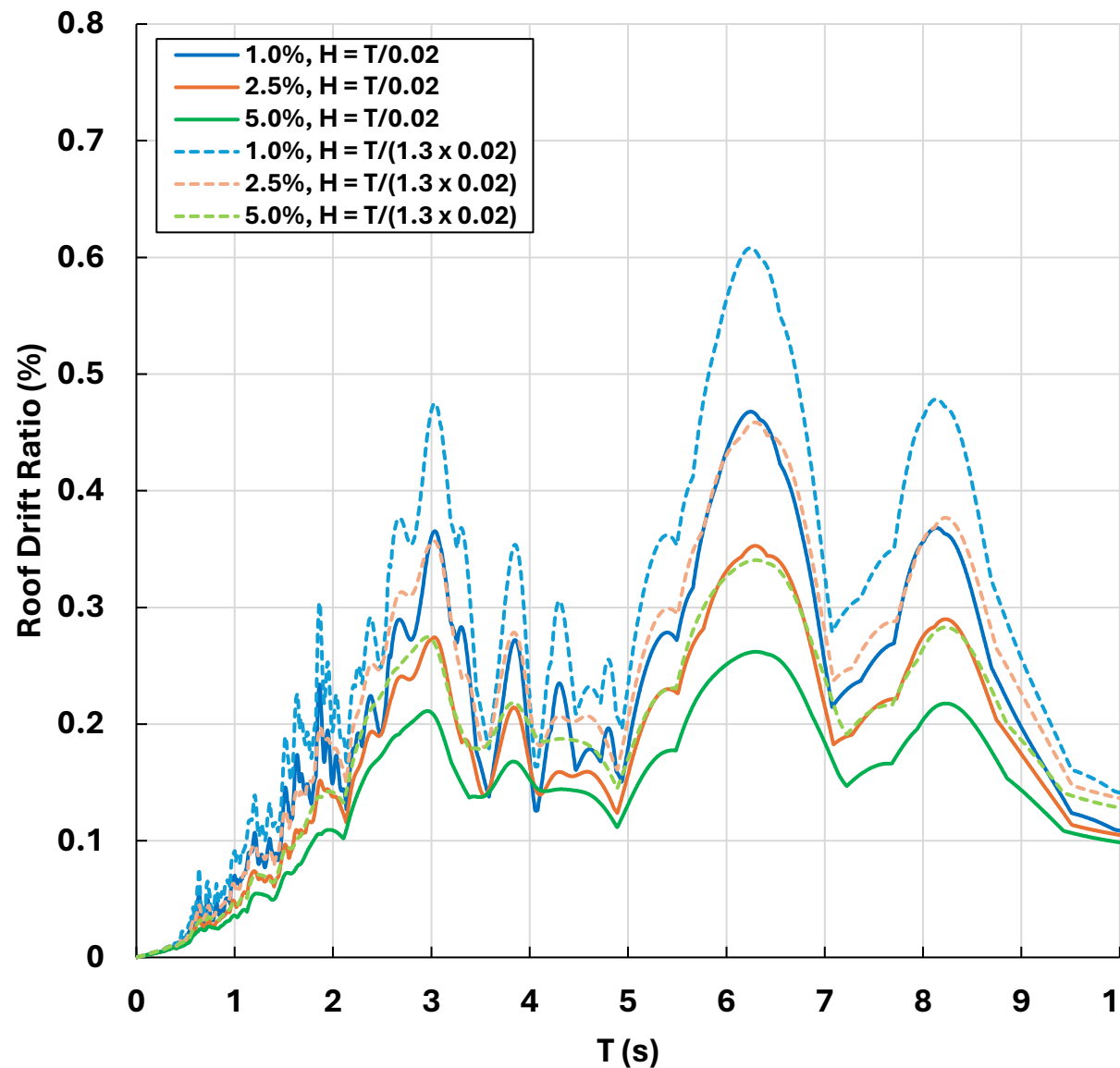
$$\text{Inter-Story Drift Ratio} = \frac{\delta}{h}$$



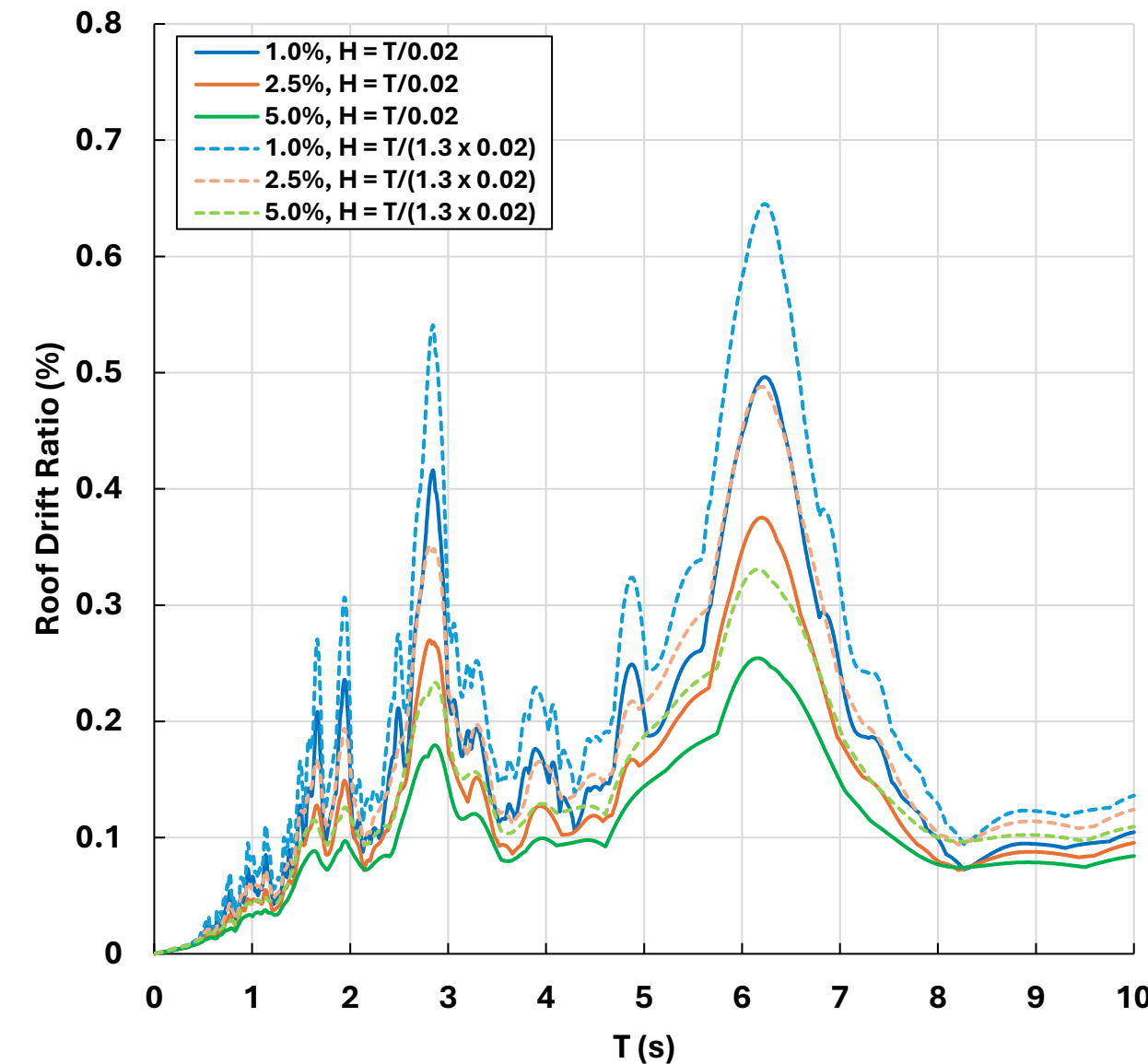
Roof Drift Ratio

Station: Department of Public Works and Town & Country Planning
(PWSA)

PWSA - NE



PWSA - NN



Damped Free Vibration



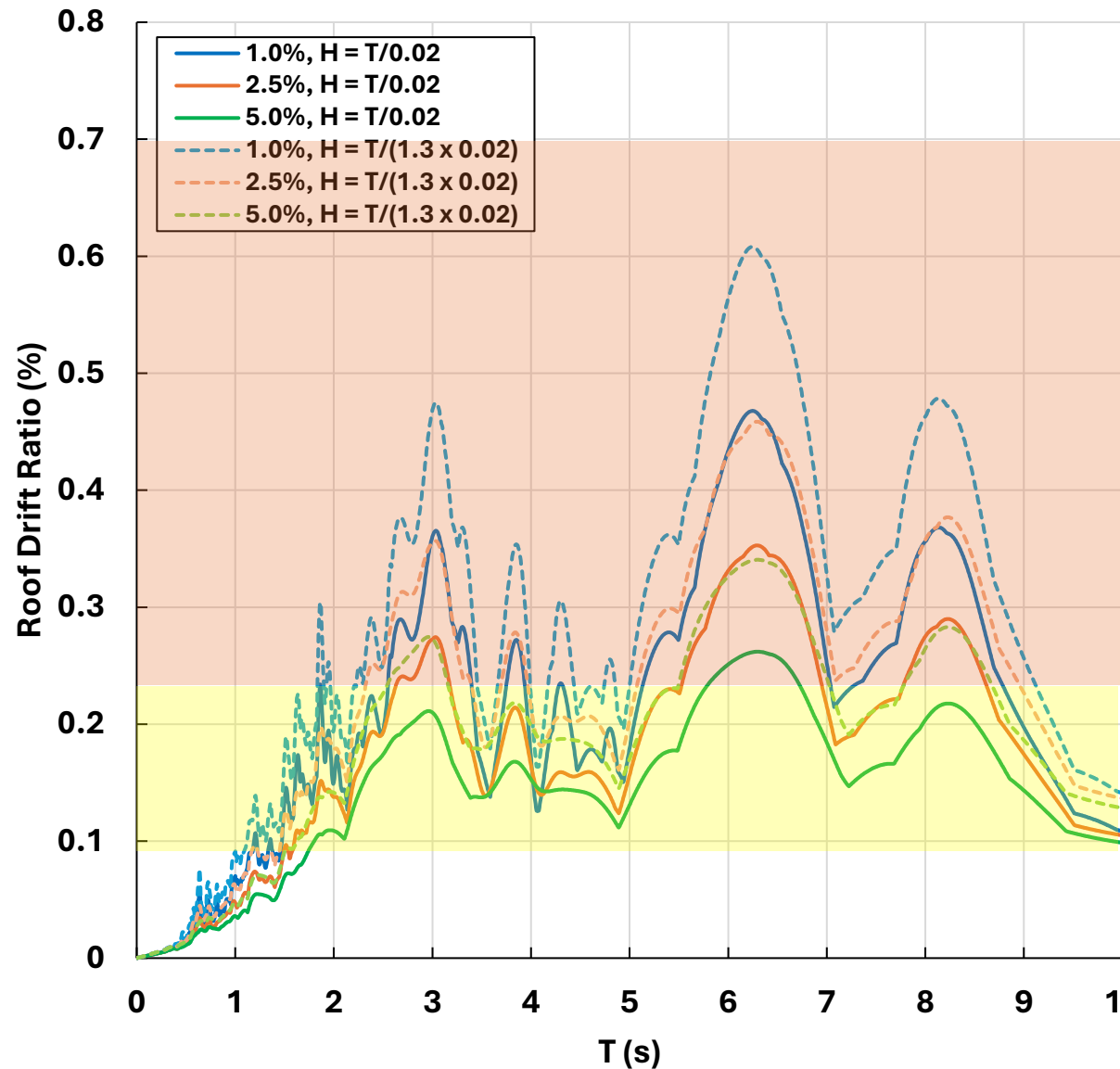
Harmonic Shaking



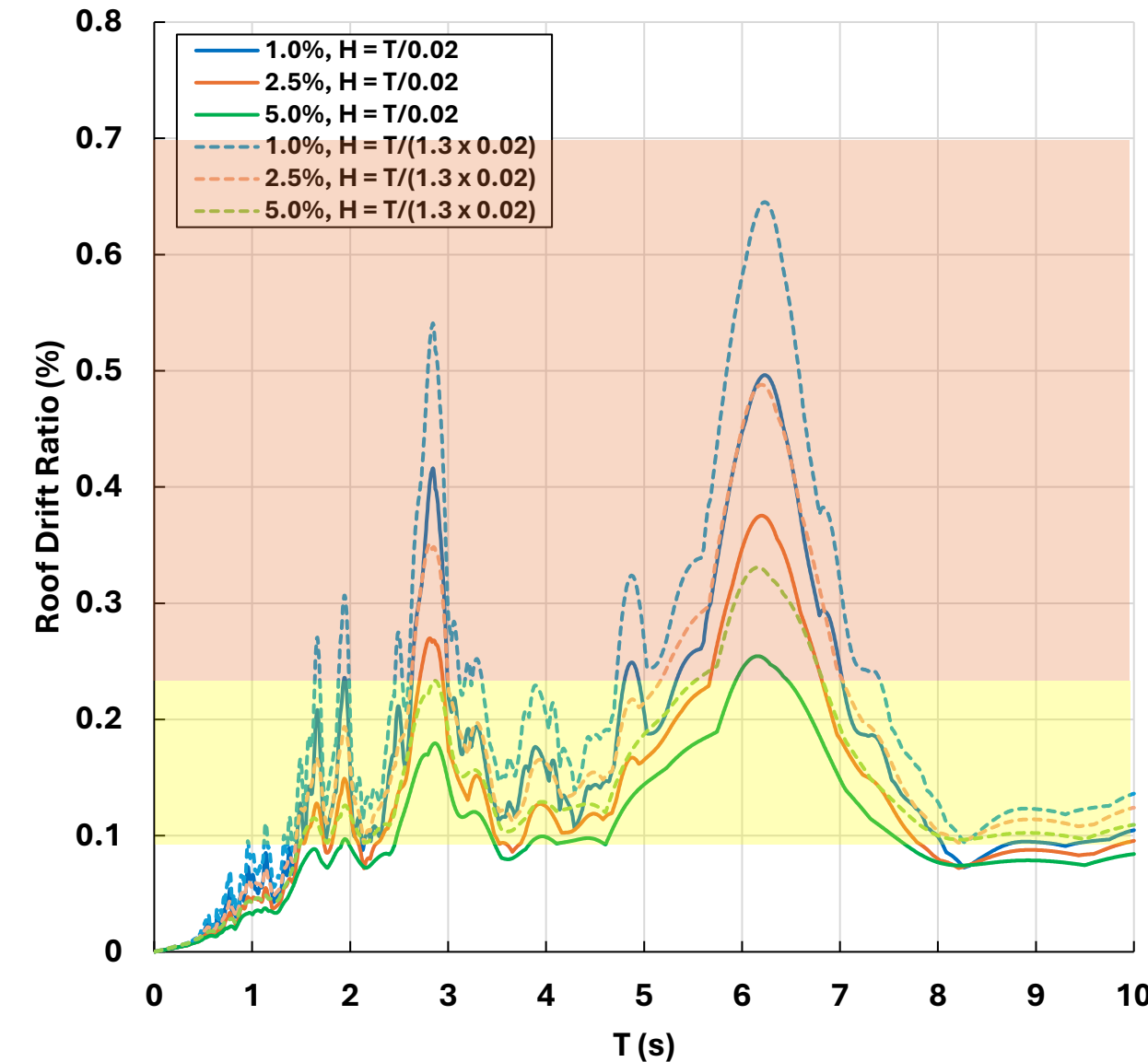
Roof Drift Ratio

Station: Department of Public Works and Town & Country Planning
(PWSA)

PWSA - NE



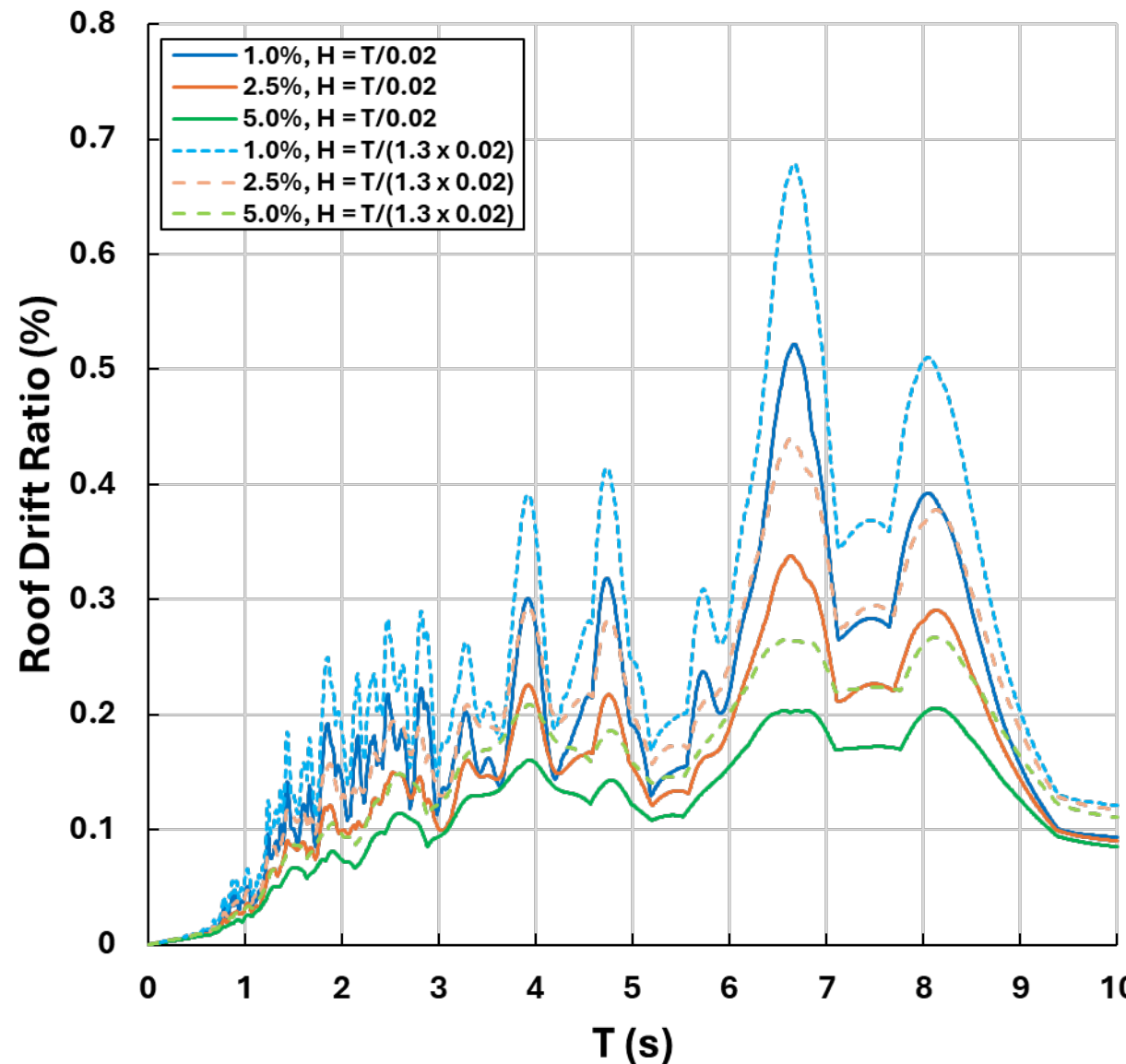
PWSA - NN



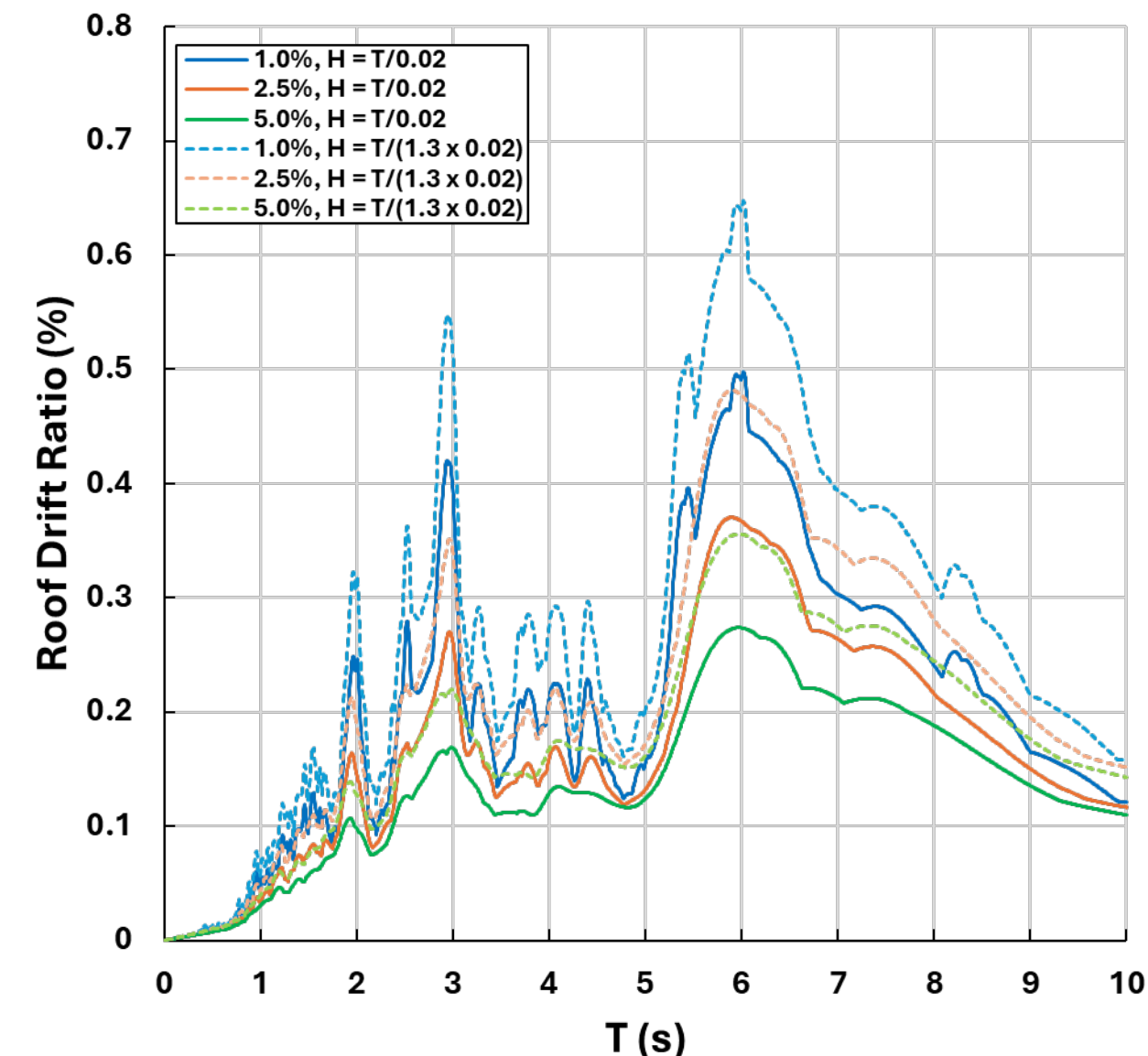
Roof Drift Ratio

Station: Queen Sirikit National Convention Center
(BKSI)

BKSI - NE



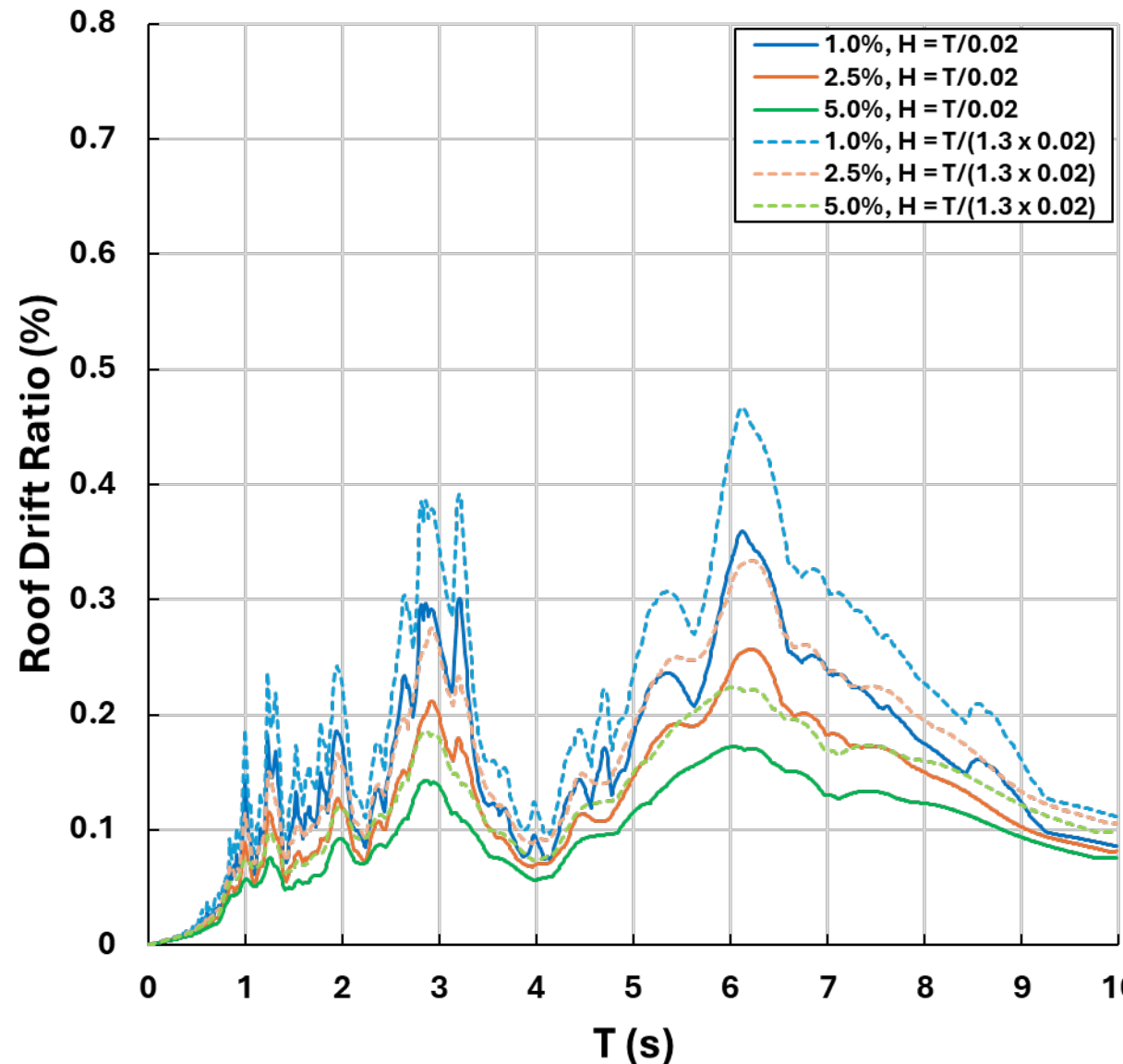
BKSI - NN



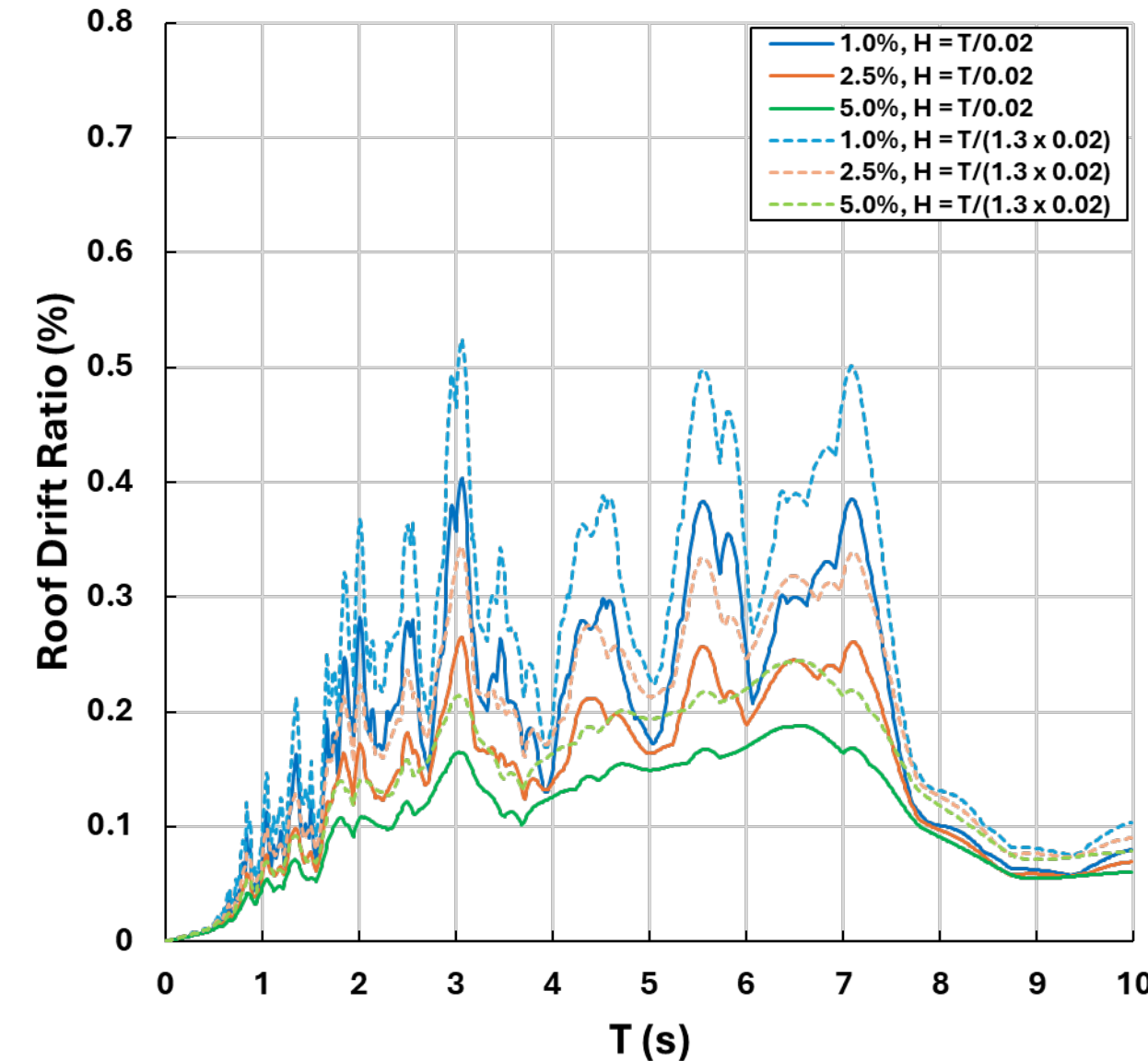
Roof Drift Ratio

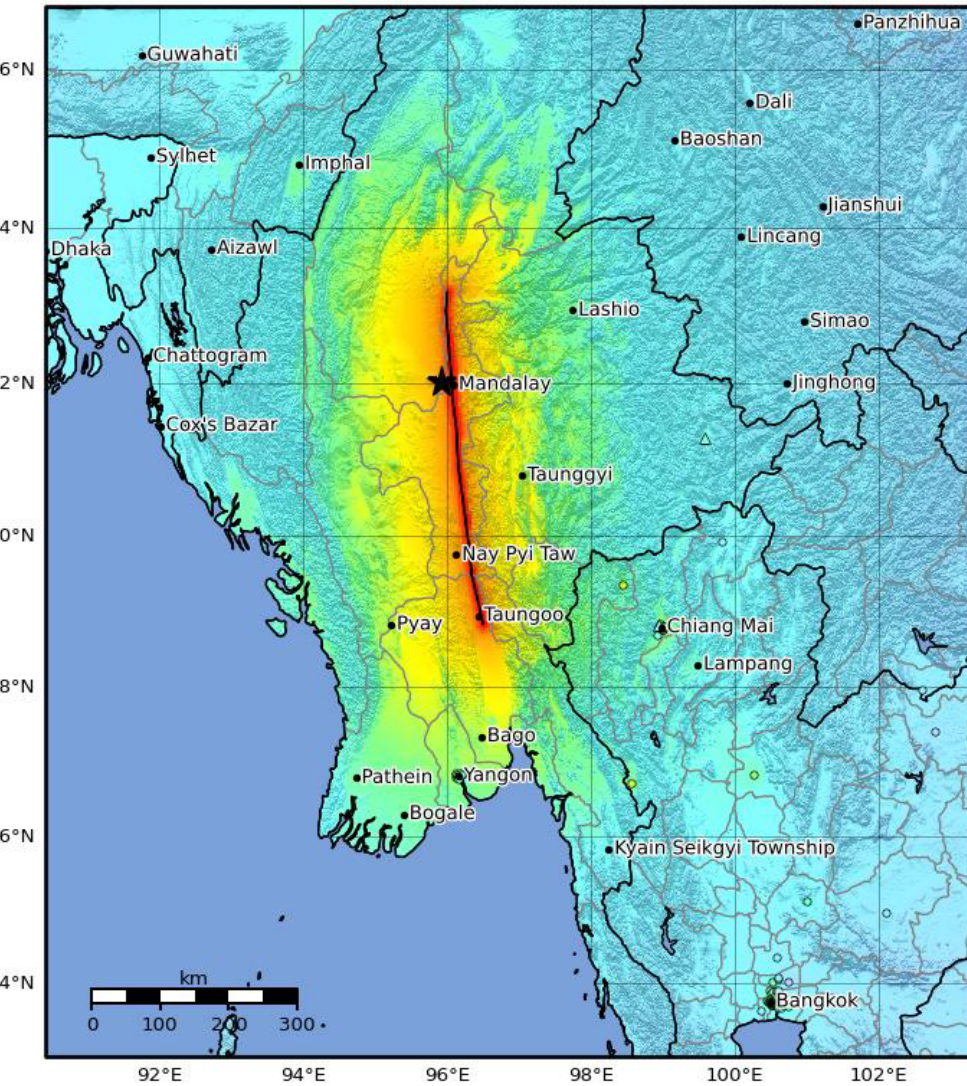
Station: King Mongkut's University of Technology Thonburi
(KMUA)

KMUA - NE



KMUA - NN





M 7.7 - 2025 Mandalay, Burma (Myanmar) Earthquake

2025-03-28 06:20:54 (UTC)
22.013°N 95.922°E
10.0 km depth

SHAKING	Not felt	Weak	Light	Moderate	Strong	Very strong	Severe	Violent	Extreme
DAMAGE	None	None	None	Very light	Light	Moderate	Moderate/heavy	Heavy	Very heavy
PGA(%g)	<0.0464	0.297	2.76	6.2	11.5	21.5	40.1	74.7	>139
PGV(cm/s)	<0.0215	0.135	1.41	4.65	9.64	20	41.4	85.8	>178
INTENSITY	I	II-III	IV	V	VI	VII	VIII	IX	X+

Version 8: Processed 2025-03-28T18:12:21Z
★ Epicenter □ Rupture

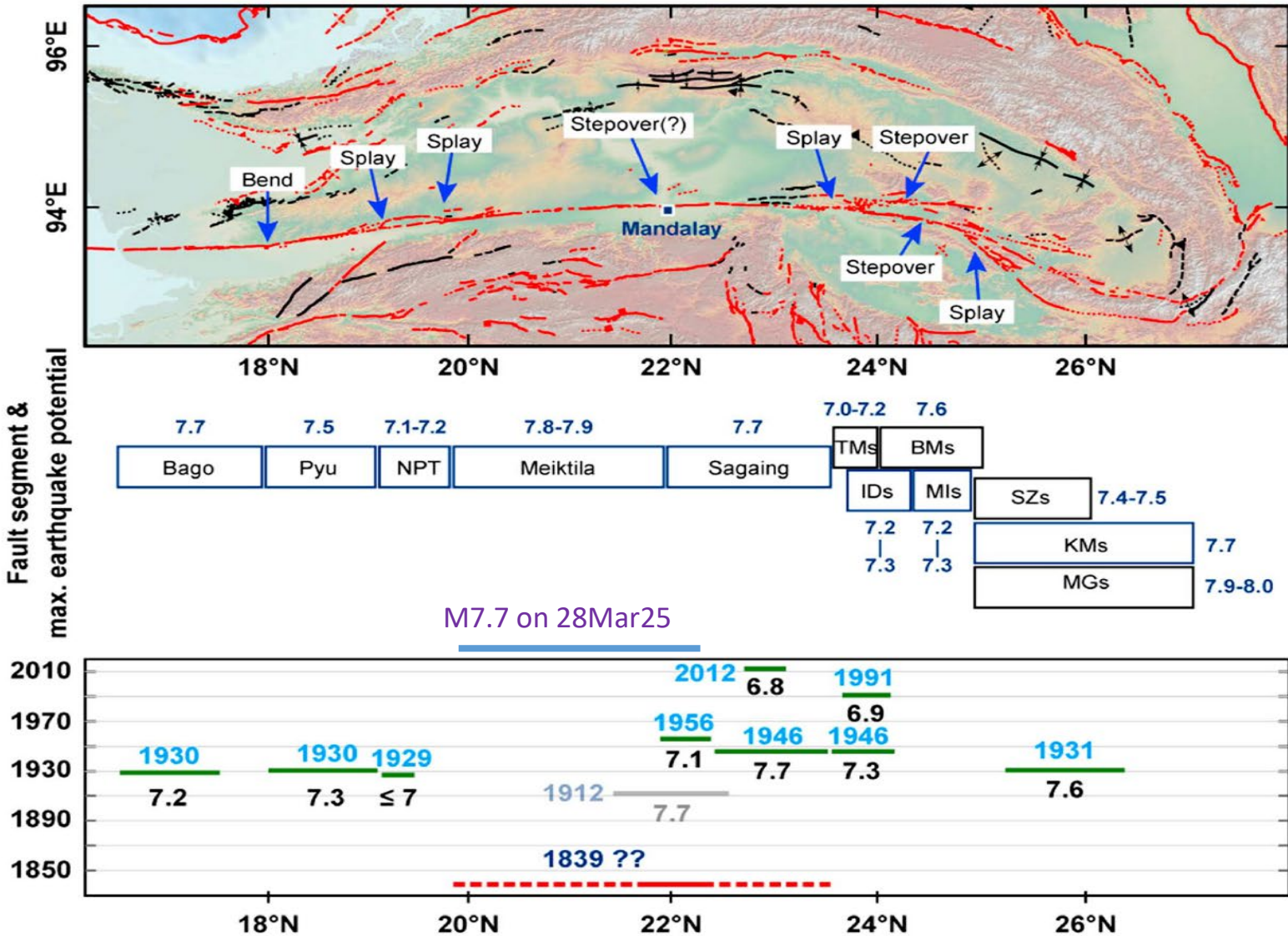
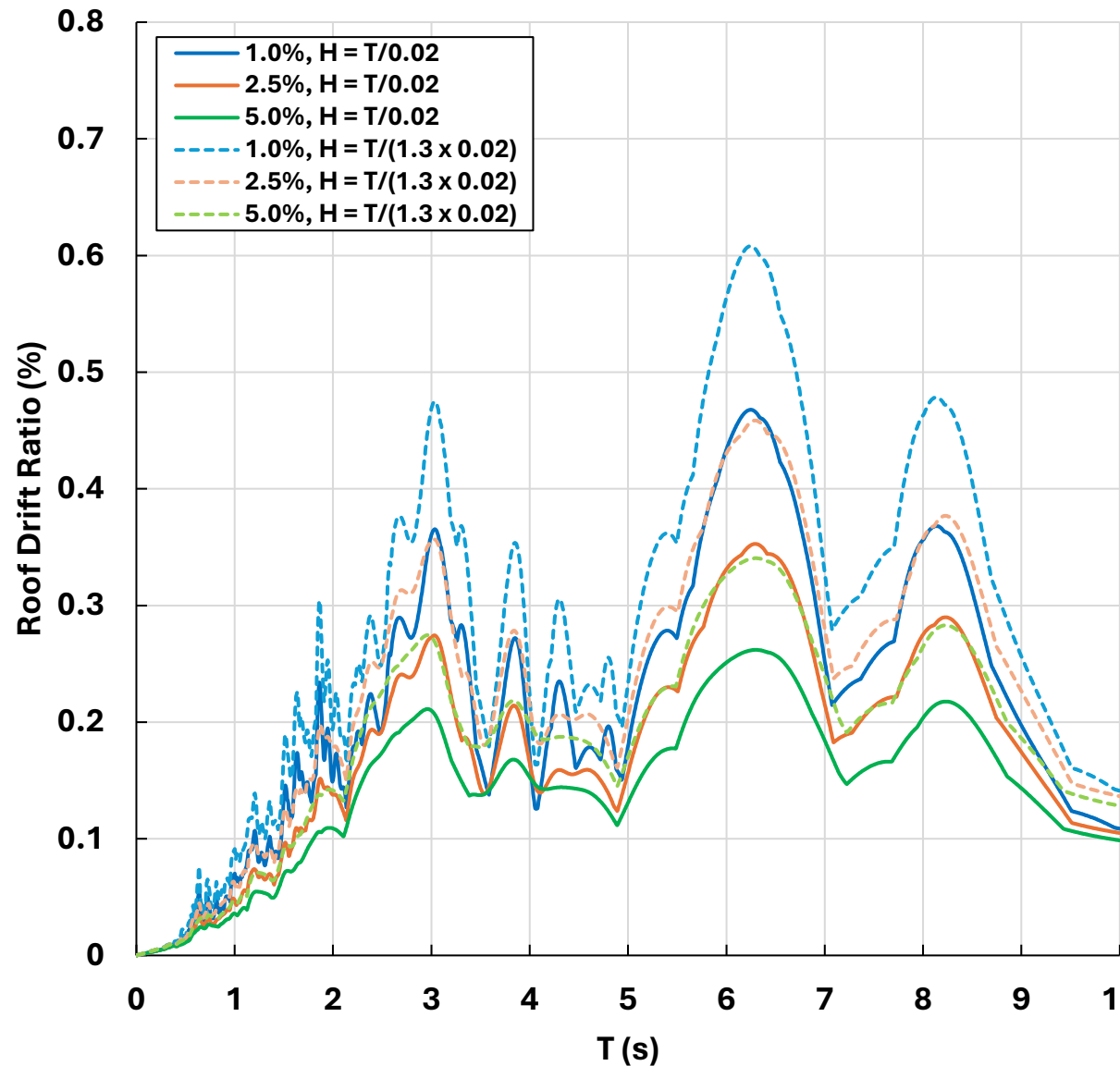


Figure 22. Map and chart of potential maximum earthquake magnitudes (M_w) associated with named segments of the Sagaing fault. Blue arrows show the boundaries of fault segments. Ruptures of the past century appear in the lower box. Green lines are the proposed rupture patches along the Sagaing fault since the beginning of the twentieth century; gray line shows the proposed rupture section along the Kyaukkyan fault, parallel to the Sagaing fault. Red line marks the possible rupture patch of the 1839 earthquake, inferred from historical data. BMs = Ban Mauk segment; TMs = Tawma segment; IDs = In Daw segment; Mls = Mawlu segment; SZs = Shaduzup segment; KMs = Kamaing segment; MGs = Mogang segment.

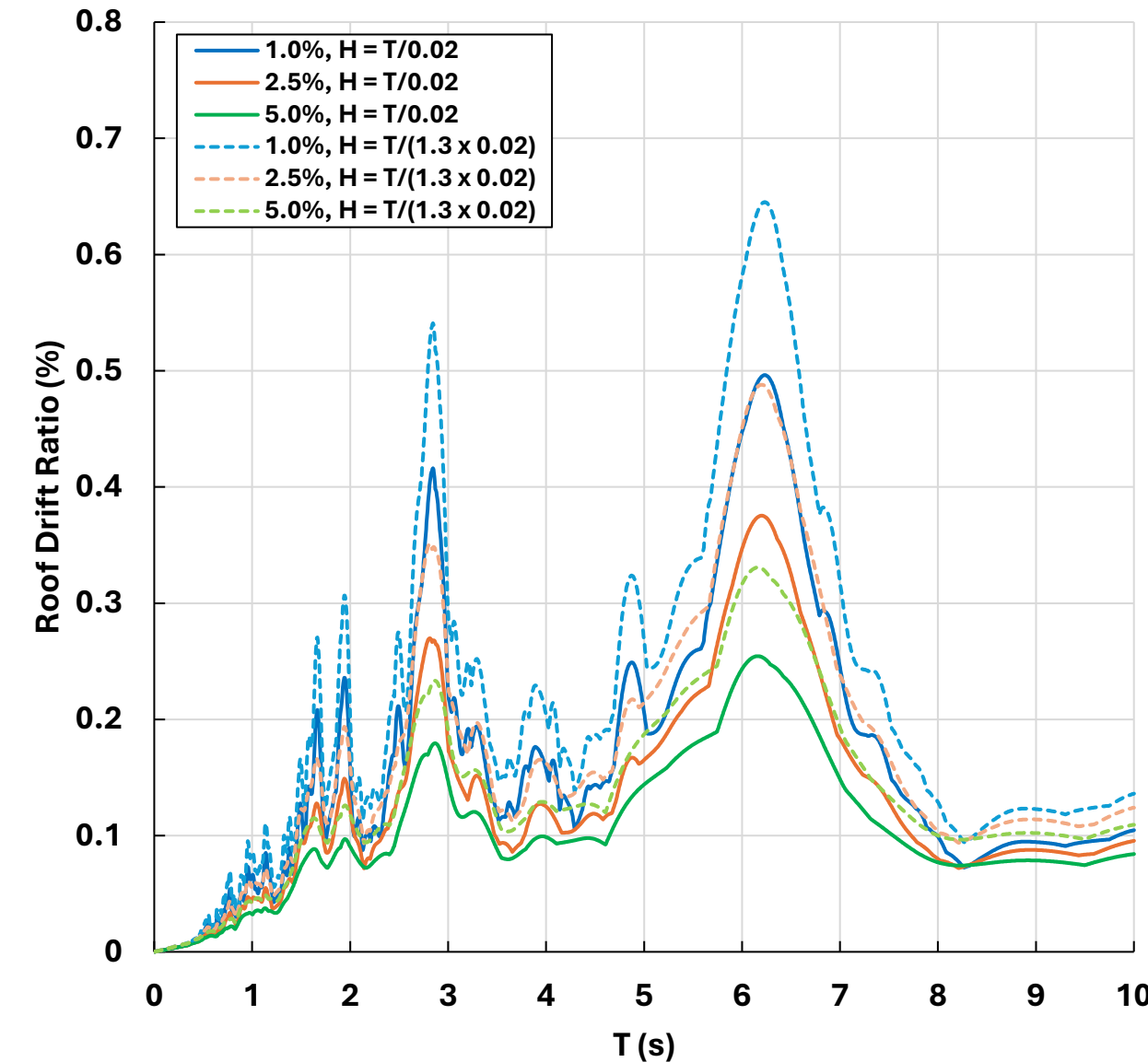
Roof Drift Ratio

Station: Department of Public Works and Town & Country Planning
(PWSA)

PWSA - NE

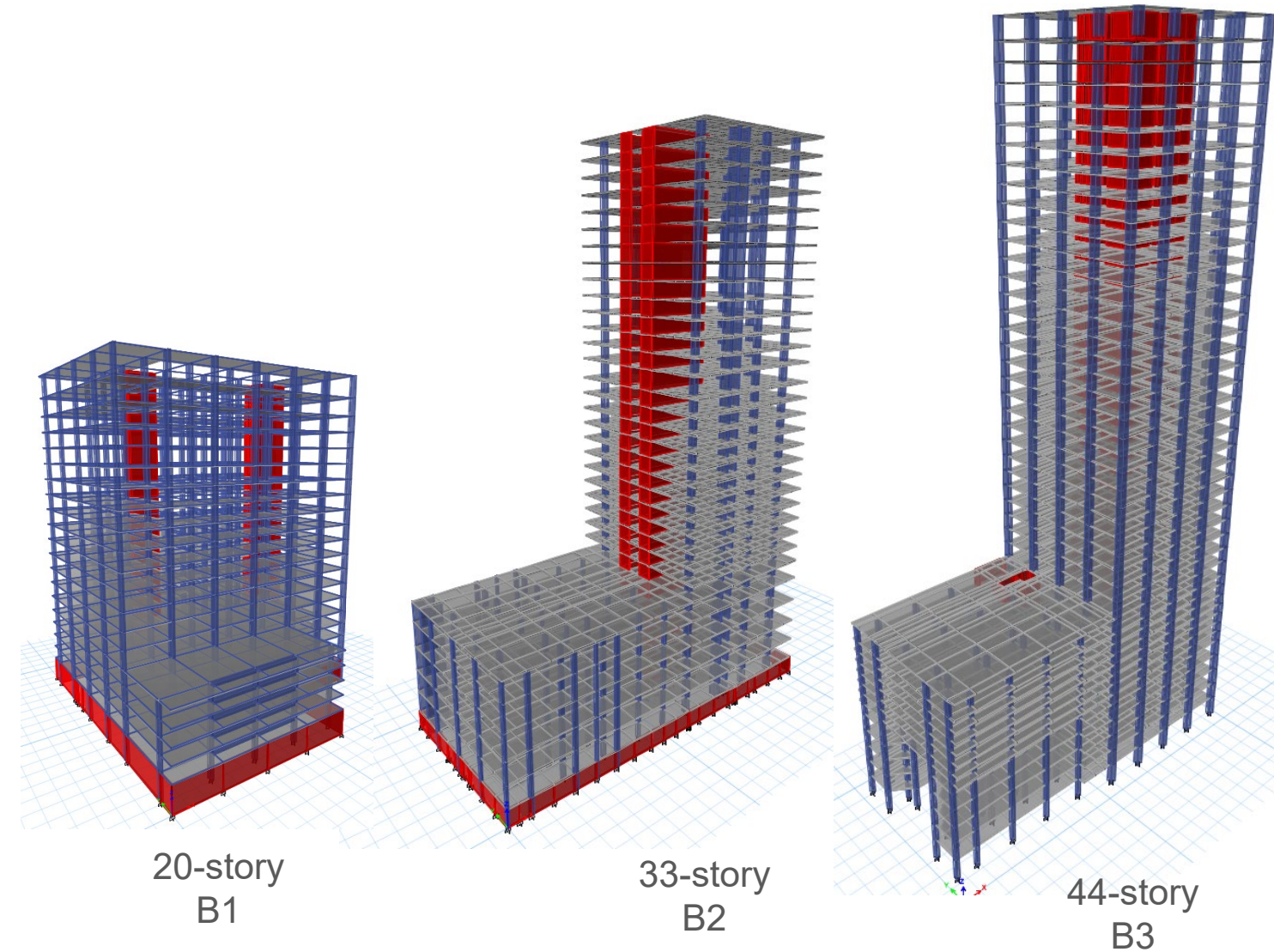


PWSA - NN





Typical Tall Buildings in Thailand

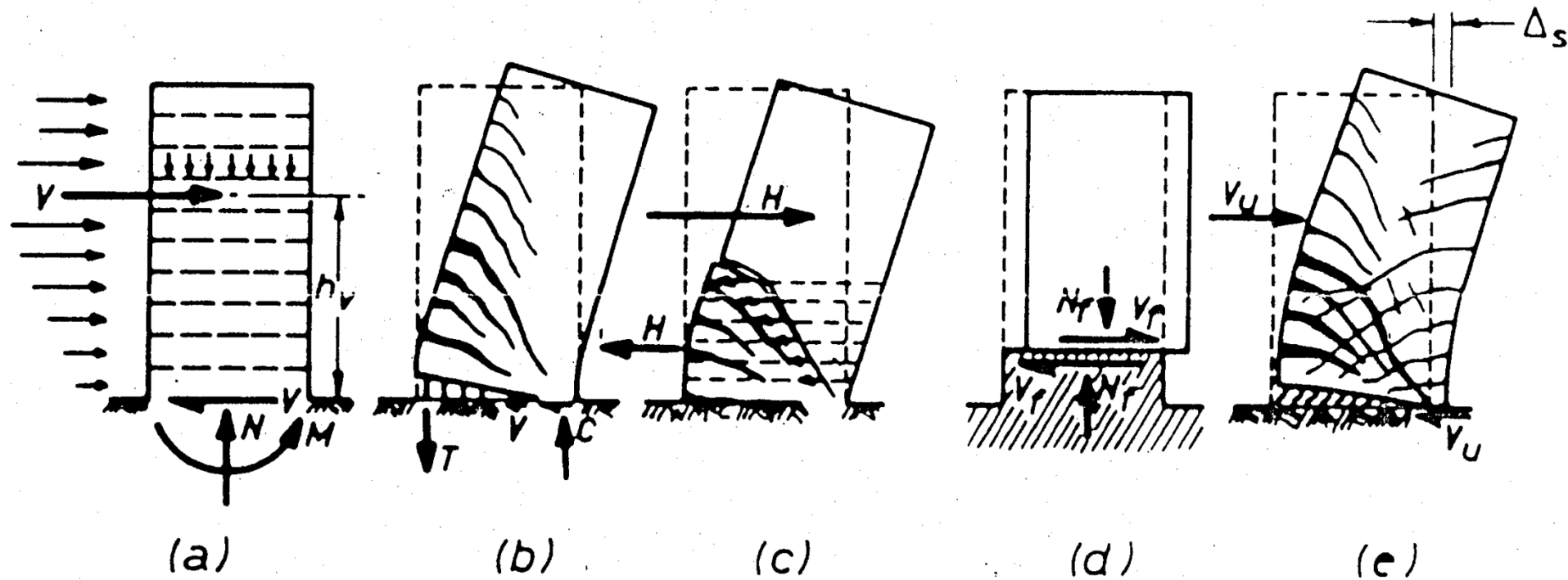


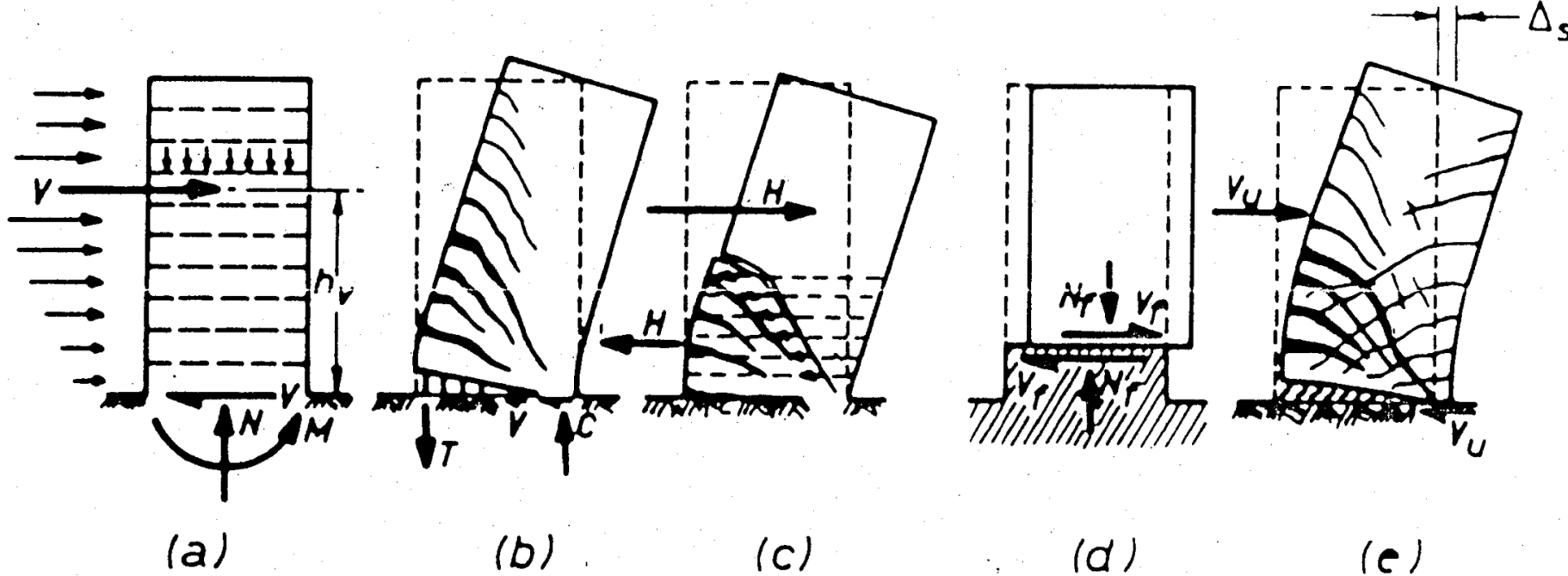
- RC slab-column frames carry gravity loads*
- RC walls & cores resist lateral loads*
- Masonry infill walls extensively used*
- Possess irregular features commonly found in typical tall buildings, e.g. podium and non-symmetrical arrangement of RC walls, etc.*

Ductile Structural Walls

A basic requirement for walls to be ductile: **a flexural plastic hinge zone should be formed at the base of the wall, and brittle failure mechanisms should not be permitted to occur.**

This is achieved by establishing a desirable hierarchy in the failure mechanics using **capacity design procedures** and by appropriate detailing of the potential plastic hinge region.

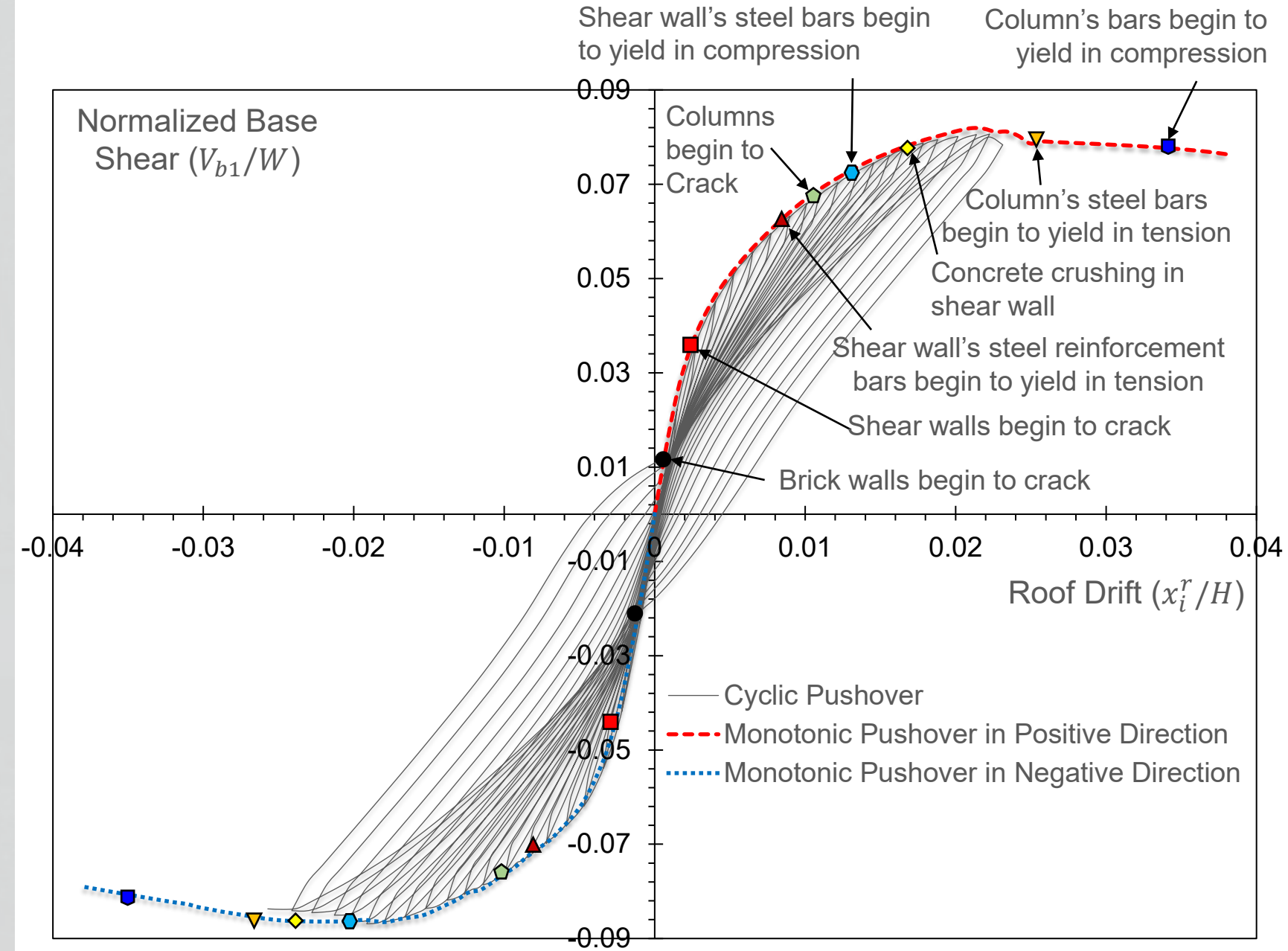




Failure modes to be prevented are:

- *Diagonal tension failure (c) caused by shear,*
- *Diagonal compression failure caused by shear,*
- *Instability of thin walled sections,*
- *Instability of the principal compression reinforcement,*
- *Sliding shear along construction joints (d),*
- *Shear or bond failure along lapped splices or anchorages (b).*

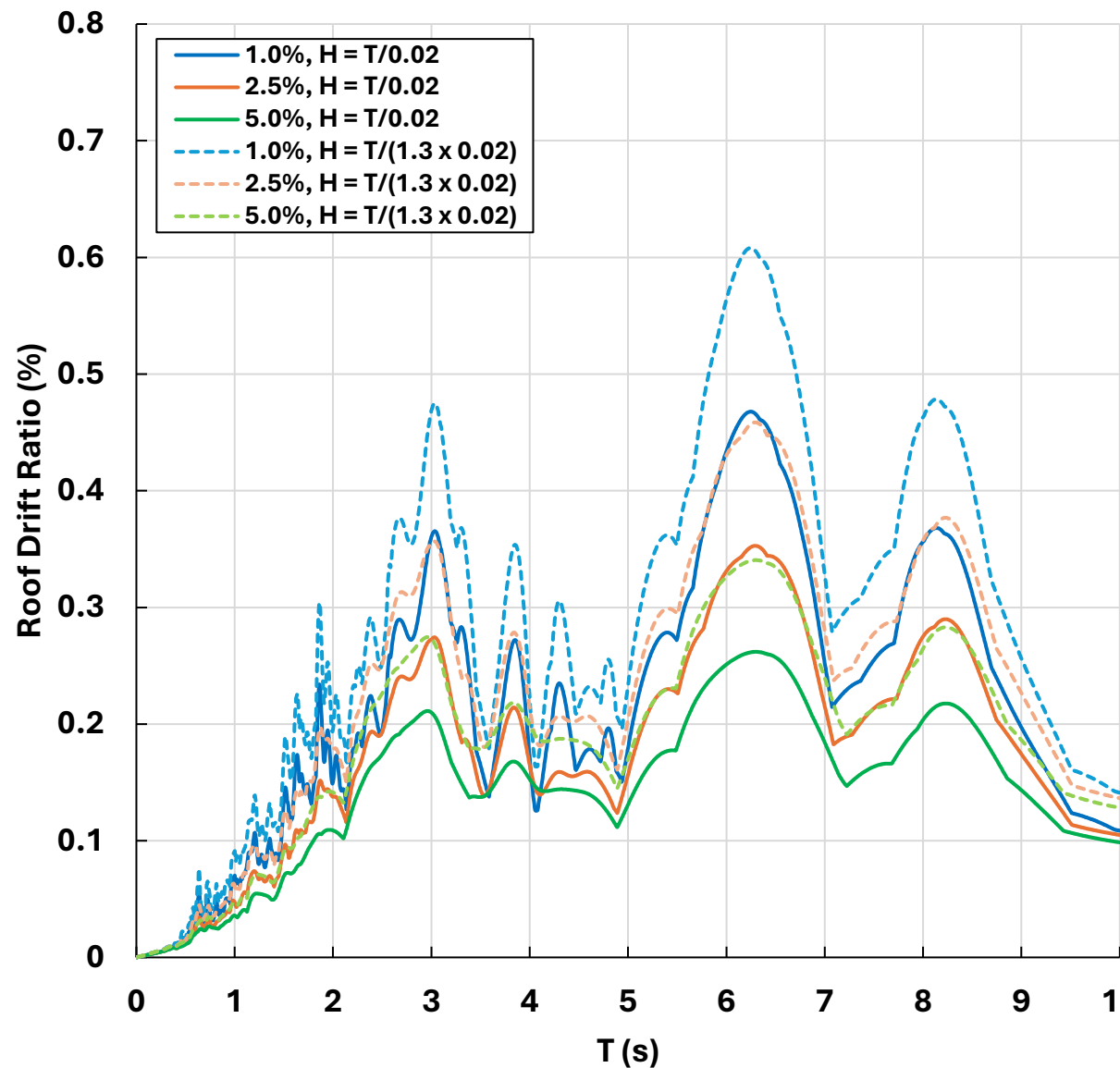
The Cyclic Behavior of A 44-Story Building with Ductile Structural Walls



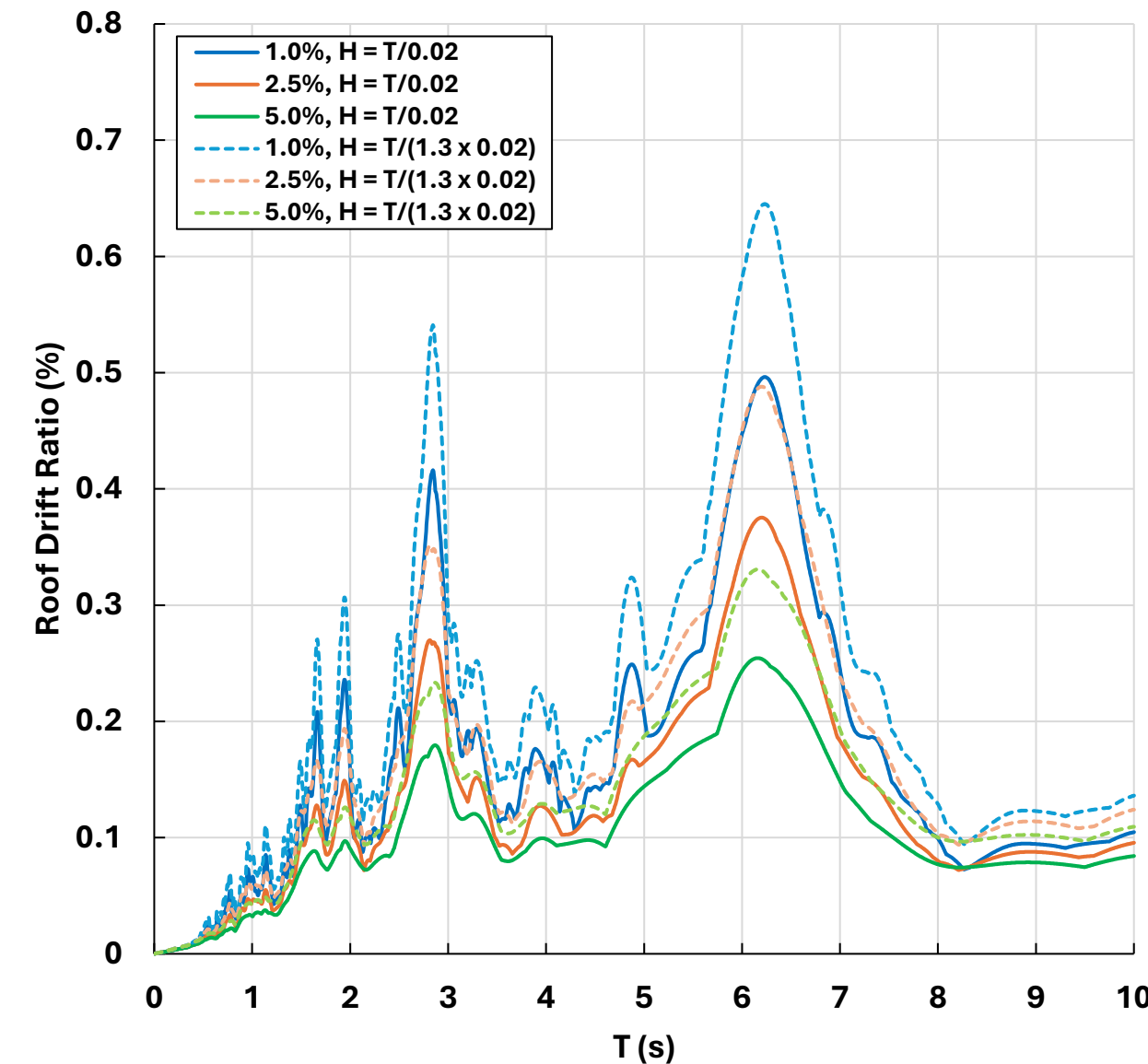
Roof Drift Ratio

Station: Department of Public Works and Town & Country Planning
(PWSA)

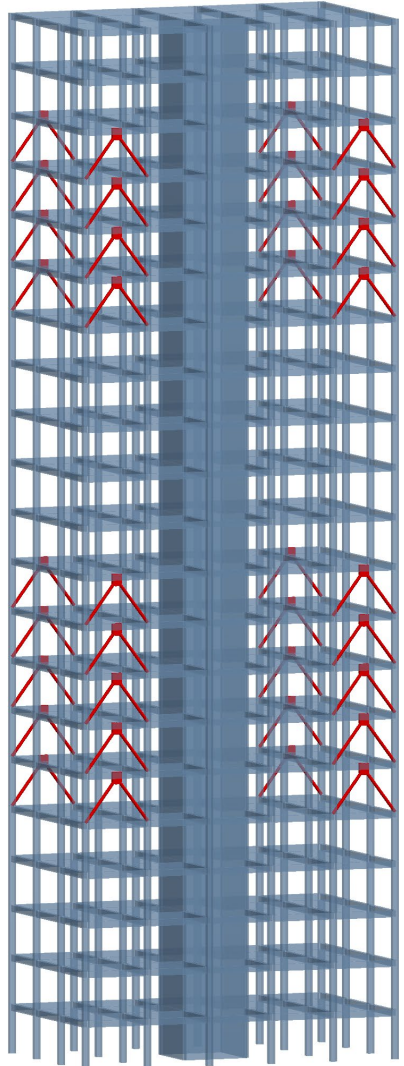
PWSA - NE



PWSA - NN



Fluid Viscous Damper (FVD) for building vibration control



https://www.linkedin.com/posts/ncsea_fluid-viscous-dampers-effectively-dissipate-activity-7146470330536968192-SYJS/



<https://ana.ir/en/news/1973/iran-among-nine-countries-holding-viscous-fluid-damper-technology>



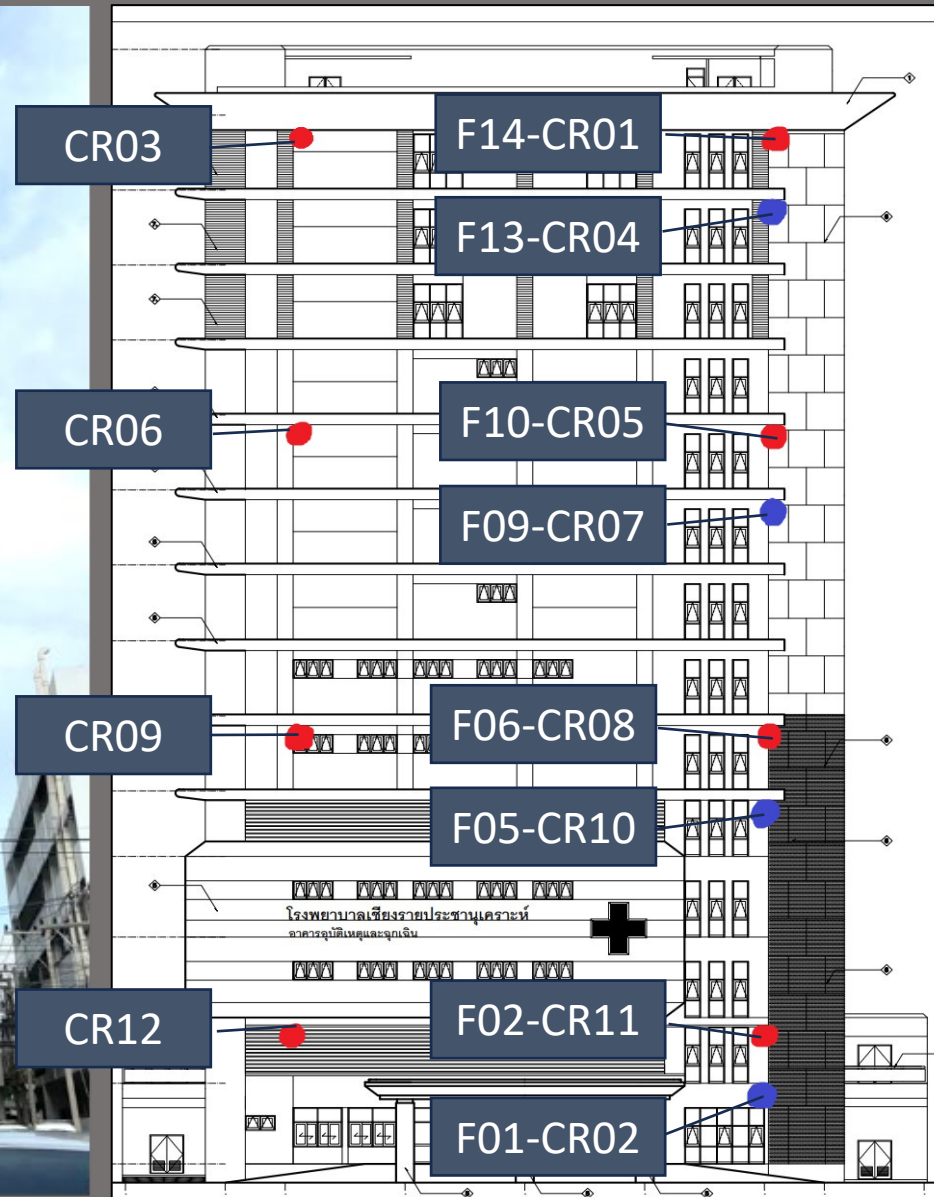
<https://doi.org/10.3390/buildings15020260>



06/24/2016 18:18

<https://ryanrakhmats.wordpress.com/2018/04/22/fluid-viscous-damper-fvd/>

Structural Health Monitoring of A Hospital Building in Chiang Rai



Testing the SHM system & Identify Building Dynamic Properties by Human Excitation



3D Mode Shape (Updated FEM Model)

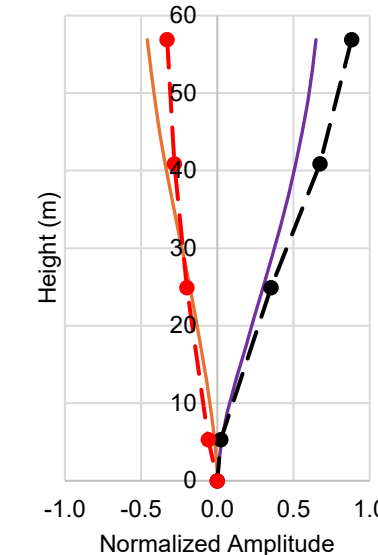
● HU X-dir ● HU Y-dir
— FEM X-dir — FEM Y-dir

1X

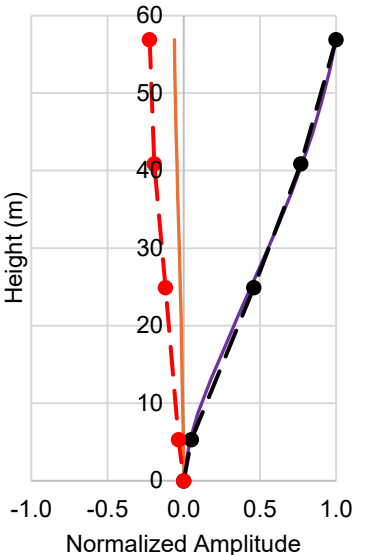
$$f_{\text{FEM}} = 0.868 \text{ Hz}$$
$$f_{\text{HumanEx}} = 0.933 \text{ Hz}$$



Sensor: **B**



A

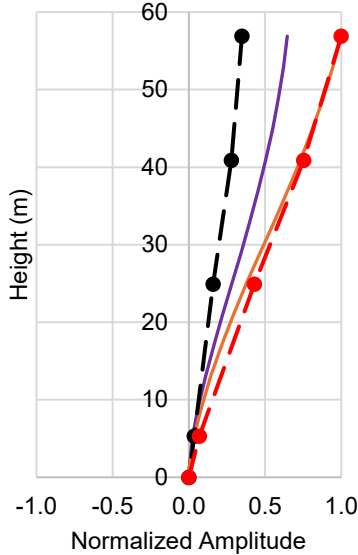


1Y

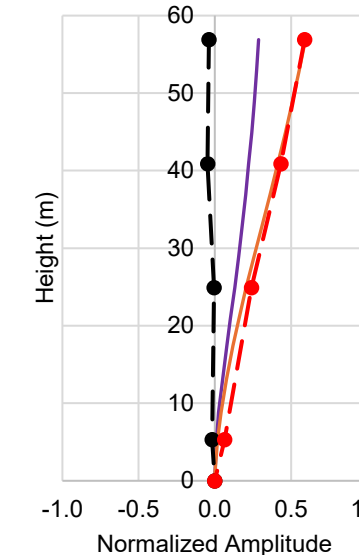
$$f_{\text{FEM}} = 0.933 \text{ Hz}$$
$$f_{\text{HumanEx}} = 0.946 \text{ Hz}$$



B



A

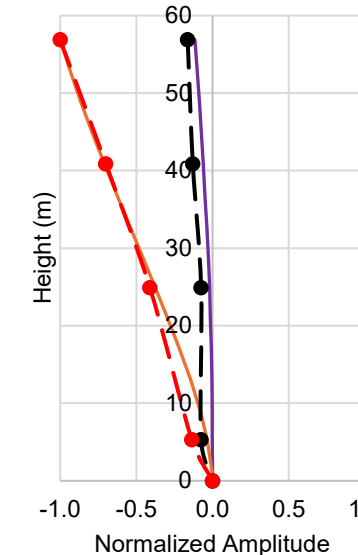


1R

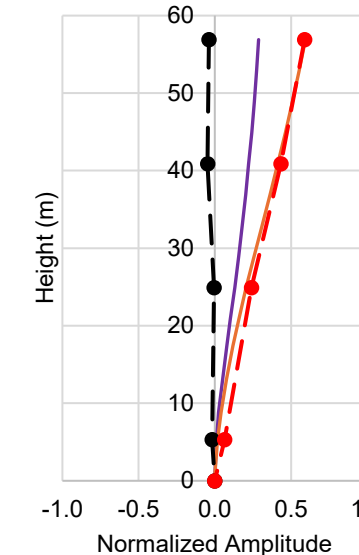
$$f_{\text{FEM}} = 1.386 \text{ Hz}$$
$$f_{\text{HumanEx}} = 1.332 \text{ Hz}$$



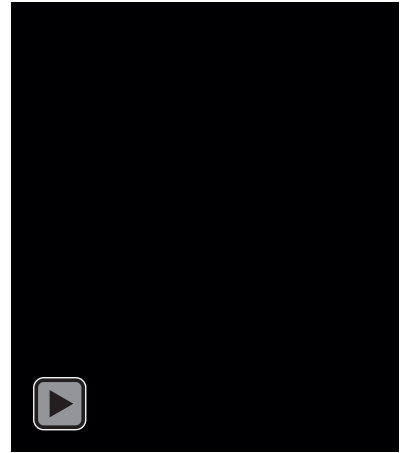
B



A

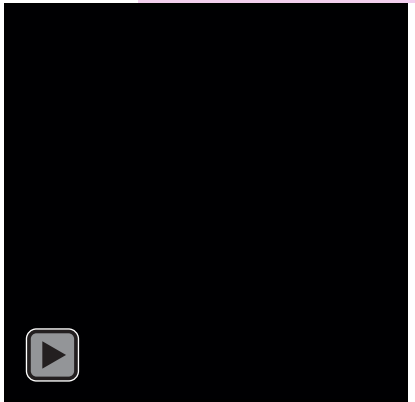


3D Mode Shape (Updated FEM Model)



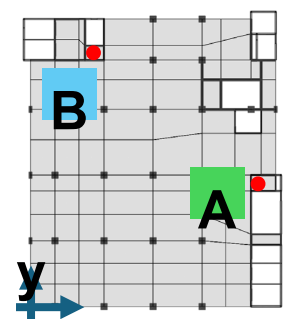
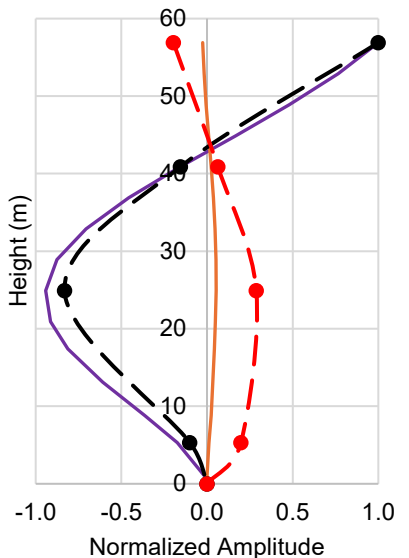
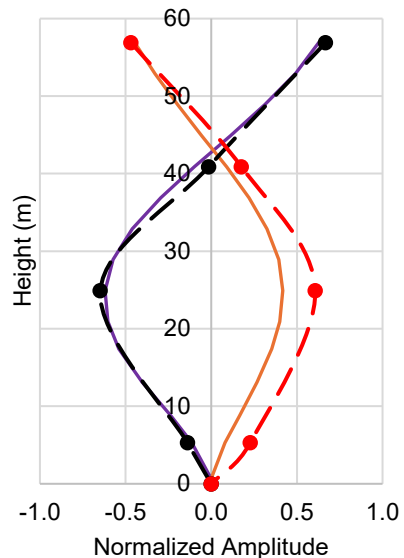
2X

$$f_{\text{FEM}} = 2.877 \text{ Hz}$$
$$f_{\text{HumanEx}} = 2.863 \text{ Hz}$$



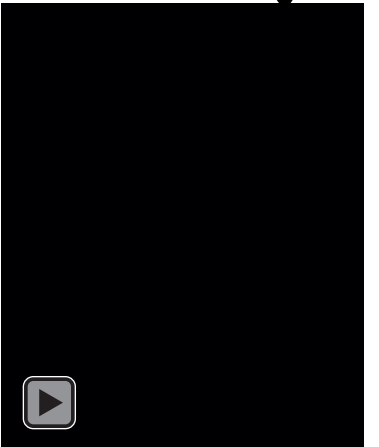
Sensor:

B

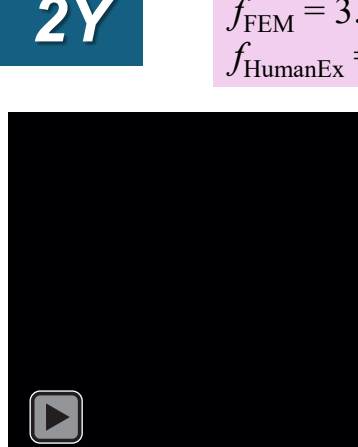
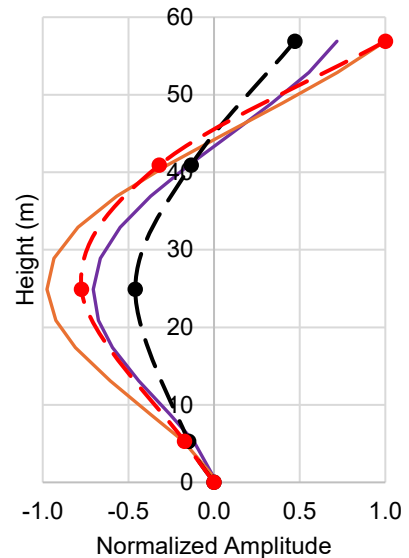


2Y

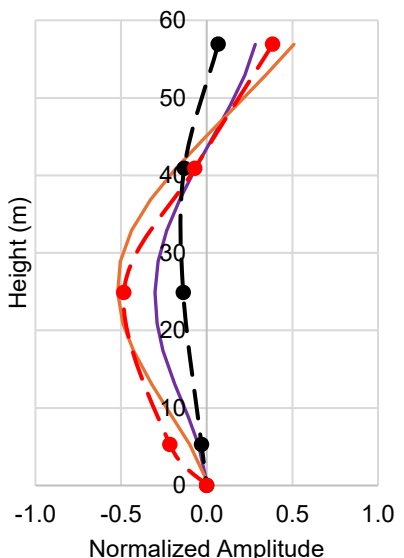
$$f_{\text{FEM}} = 3.207 \text{ Hz}$$
$$f_{\text{HumanEx}} = 3.084 \text{ Hz}$$



B



A



● - HU X-dir ● - HU Y-dir
— FEM X-dir — FEM Y-dir

Visualization of Demand-to-Capacity Ratio of Structural Members in 3D Building Model



Column PMM D/C Ratio

